Les premiers résultats sur le plasma de quarks et de gluons dans l'expérience CMS du LHC



Lamia Benhabib

Laboratoire le Prince-Ringuet

Séminaire au LPC



+Plan

- Introduction : Physique des ions lourds
- Quelques faits marquants à RHIC
- Prise de données dans CMS
- Premières observations en Pb+Pb, premières analyses
 - Perte d'énergie du jet dans le milieu "unbalenced jets"
 - Mesure des di-leptons
- **■** Conclusion

+ Physique des ions lourds

- La QCD sur réseau prédit une transition de phase de la matière nucléaire ordinaire vers un état déconfiné : le plasma de quarks et de gluons PQG
 - Température critique (> T_c 170MeV)
 - Densités d'énergies extrêmes (>1GeV/fm³)
- Cet état de la matière qui aurait existé dans les premiers instants de l'univers est recréé en laboratoire à l'aide des collisions d'ions lourds à des vitesses ultra relativistes
- But : comprendre et étudier les propriétés du PQG

+ A RHIC, étude du PQG

4

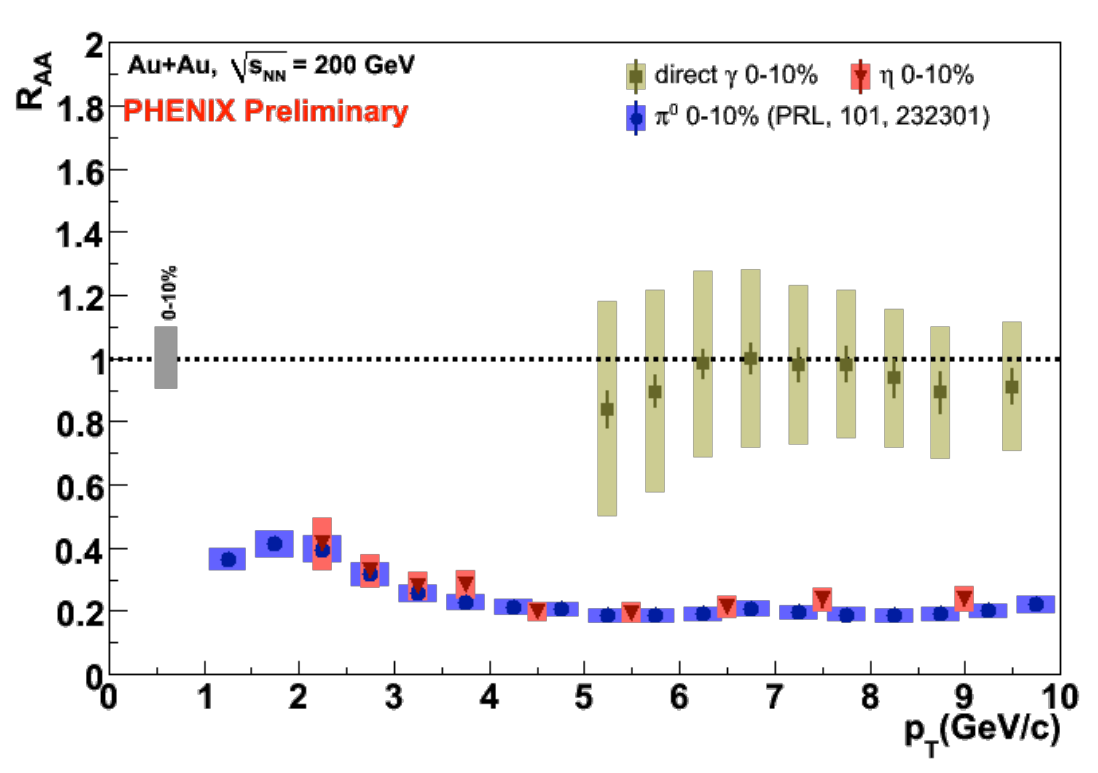
- Collisions Cu+Cu et Au+Au à $\sqrt{s} = 200 \text{GeV}$
- Densité d'énergie de 5GeV/fm³ bien au delà de la densité critique
- Ecoulement elliptique : comportement collectif des partons
- Modification du taux de production des particules de haut p_T comparé à celui en p+p
- L'énergie du parton issu de la collision est modifiée par la présence d'un milieu fortement couplé : le sQGP

$_{+}$ A RHIC, suppression de particules de haut p_{T}

5

■ Rapport de modification nucléaire

$$R_{AA} = \frac{dN^{AuAu}}{dN^{PP} \times \langle N_{coll} \rangle}$$

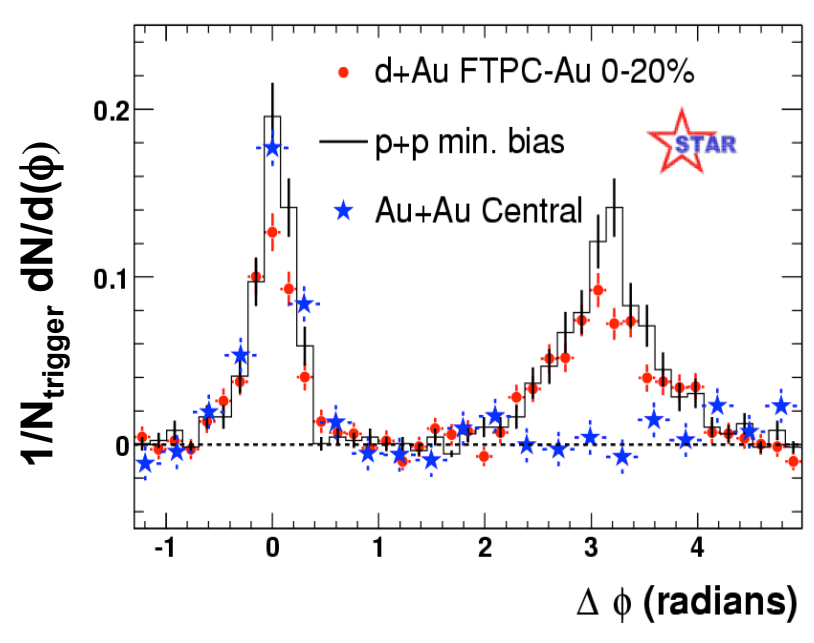


- Suppression des hadrons de haut p_T dans les collisions centrales
- Photons peu sensible au milieu

A RHIC,

corrélation des hadrons chargés

- Correlation des hadrons chargés
 - $2 \text{GeV/c} < p_{T,\text{partner}} < p_{T,\text{trigger}}$ $4 \text{GeV/c} < p_{T,\text{trigger}} < 6 \text{GeV/c}$



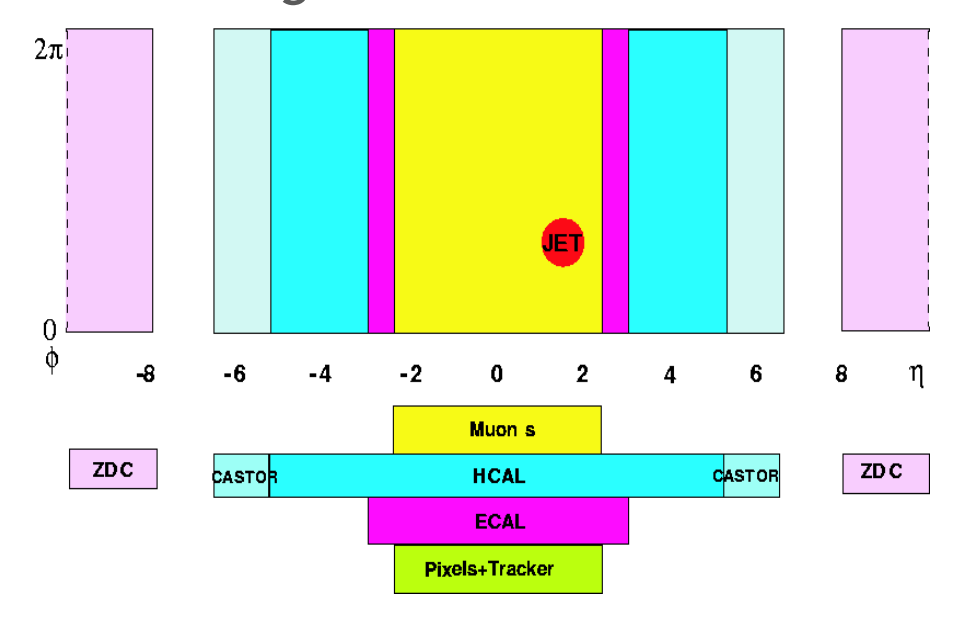
■ L'effet du « jet quenching » a été observé pour la première fois à RHIC. Phénomène mieux étudié au LHC car meilleure reconstruction des jets

+Au LHC, Compact Muon Solenoid

Hadron Calorimeter (HCAL EM Calorimeter (ECAL) Beam Scintillator Counters (BSC) Forward Calorimeter (HF) **TRACKER** (Pixels and Strips) **MUON MUON** (Barrel) (Endcaps) 25/02/11

+ Quelques caractéristiques utiles

■ Grande couverture angulaire

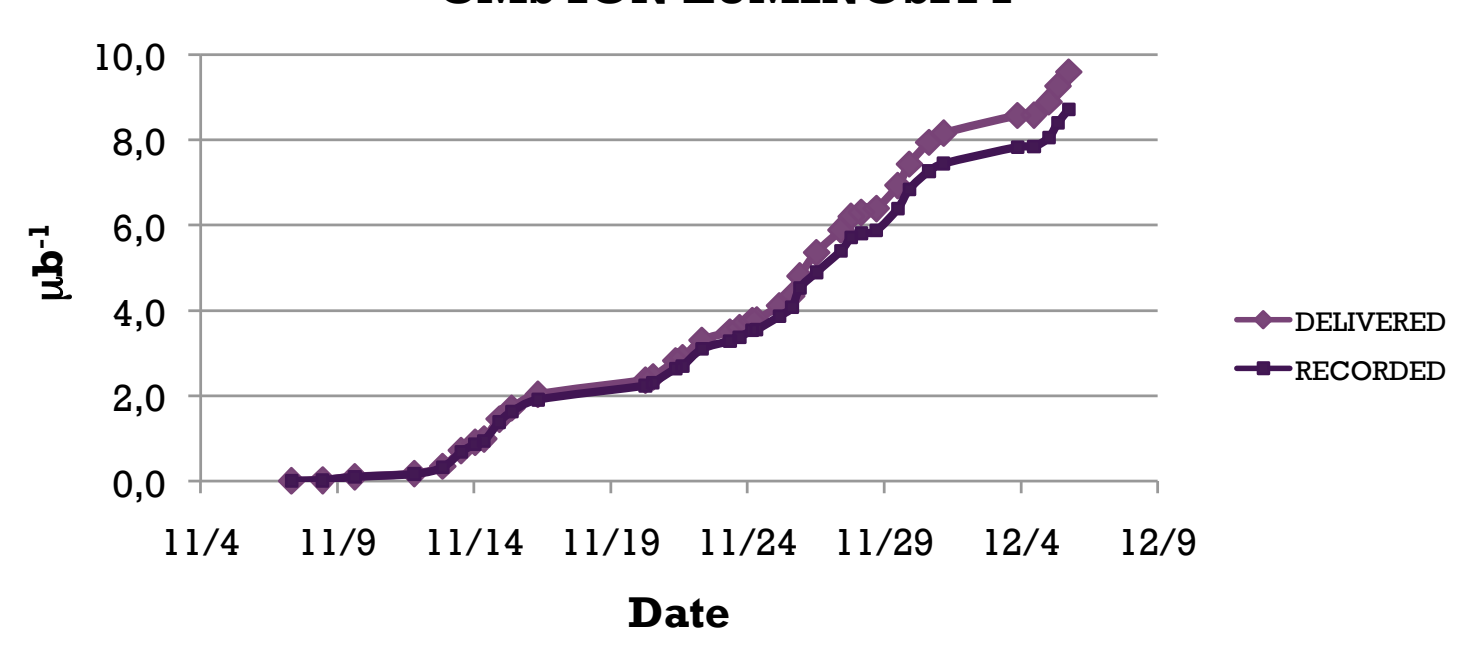


- Champ magnétique important 3.8 T
- Grande bande passante
 - Niveau 1 = Toutes collisions Pb-Pb ($\approx 5 \text{ kHz}$)
 - Trigger de haut niveau (HLT) $\rightarrow \approx 100 \text{ Hz}$

+CMS, prise de données

- 8 Novembre, premières collisions Pb-Pb à 2.76 TeV
- Une énergie 14 fois plus importante que celle de RHIC
- Luminosité enregistrée : 8.72 µ b⁻¹

CMS ION LUMINOSITY



+ Système de déclenchement et sélection des événements

10

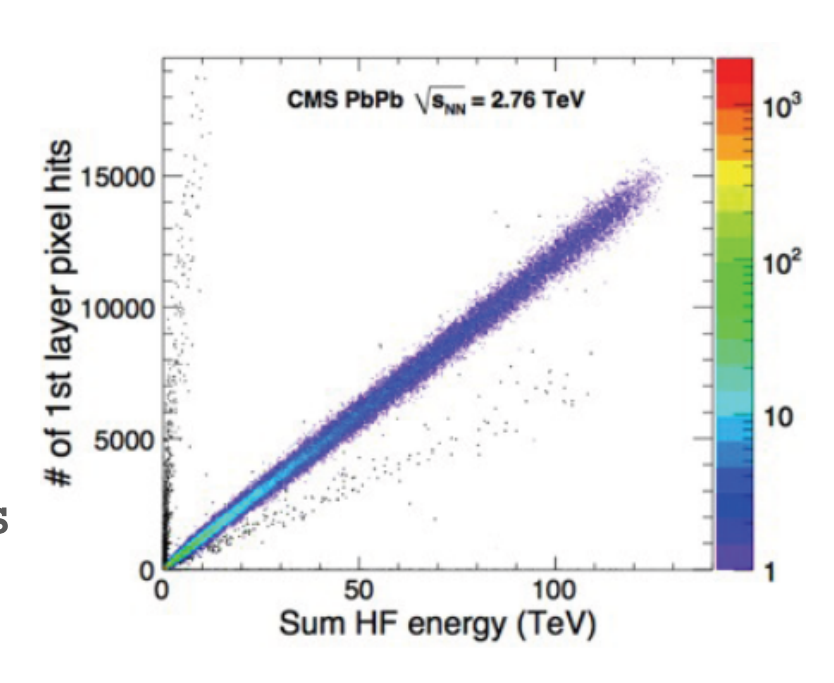
■ Trigger niveau 1

- Minimum Bias : coïncidence de deux compteurs scintillateurs ou de deux tours HF (efficacité > 97%)
- Muon : efficacité 94% pour les dimuons de haut p_T

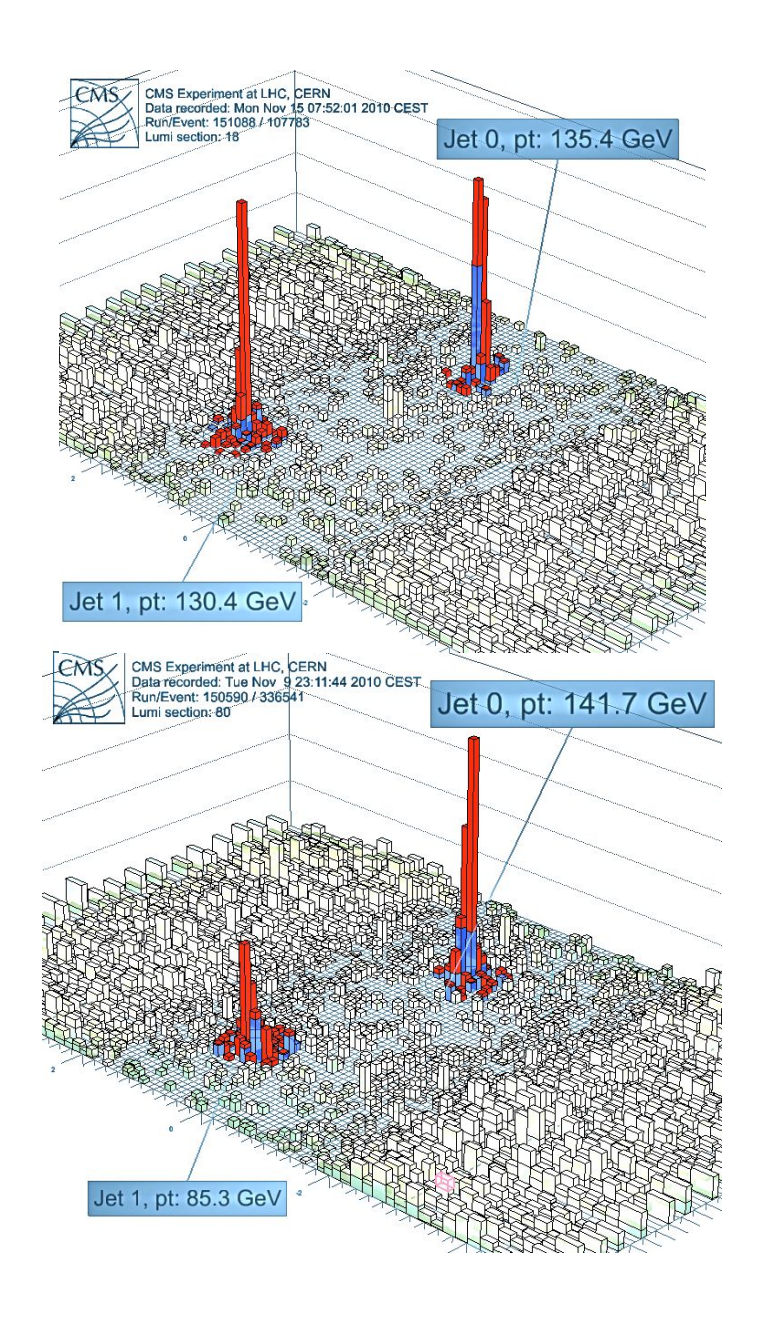
■ HLT: Jets, Muons, Photons

■ Offline

- Veto sur le scintillateur de beam halo
- Au moins 3 tours HF de chaque côté avec un seuil (E > 3 GeV)
- Reconstruction du vertex avec au moins 2 traces



+ Di-jet dans CMS





Observation and studies of jet quenching in PbPb collisions at $\sqrt{s_{\scriptscriptstyle NN}}=2.76~{\rm TeV}$

The CMS Collaboration*

Abstract

Jet production in PbPb collisions at a nucleon-nucleon center-of-mass energy of 2.76 TeV was studied with the CMS detector at the LHC, using a data sample corresponding to an integrated luminosity of 6.7 μ b⁻¹. Jets are reconstructed using the energy deposited in the CMS calorimeters and studied as a function of collision centrality. With increasing collision centrality, a striking imbalance in dijet transverse momentum is observed, consistent with jet quenching. The observed effect extends from the lower cut-off used in this study (jet $p_T = 120$ GeV/c) up to the statistical limit of the available data sample (jet $p_T \approx 210$ GeV/c). Correlations of charged particle tracks with jets indicate that the momentum imbalance is accompanied by a softening of the fragmentation pattern of the second most energetic, away-side jet. The dijet momentum balance is recovered when integrating low transverse momentum particles distributed over a wide angular range relative to the direction of the away-side jet.

arXiv:1102.1957v2 [nucl-ex] 10 Feb 2011

Submitted to Physical Review C

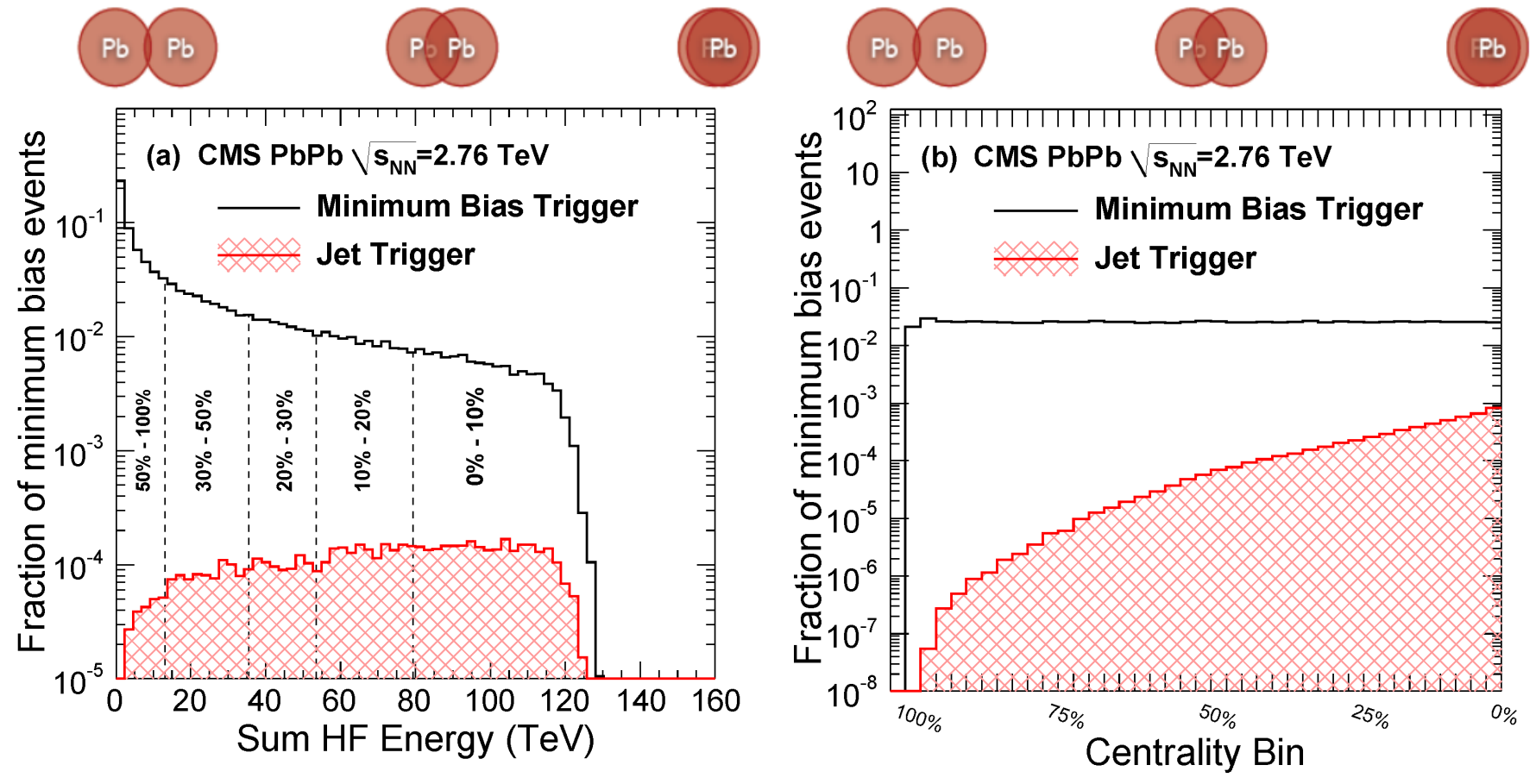
+Di-jet dans CMS

- Classe de centralité utilisées
- Méthode de reconstruction des jets et soustraction du bruit de fond
- Méthode d'analyse
 - Résolution et échelle d'énergie
 - Efficacité de reconstruction de jets
 - Corrélations azimutales
 - Evidence de l'asymétrie des jets
 - Dépendance en p_T du leading jet
 - Fraction des jets balancés
- Où va donc l'énergie ?
 - Corrélations jets-particules
 - p_T manquant

+ En ions lourds, notion de centralité

■ La centralité (%) d'une collision est inversement proportionnelle à l'énergie déposée dans HF

■ Pour les Jets



+ Reconstruction des Jets dans CMS

■ 2 types de jets reconstruits

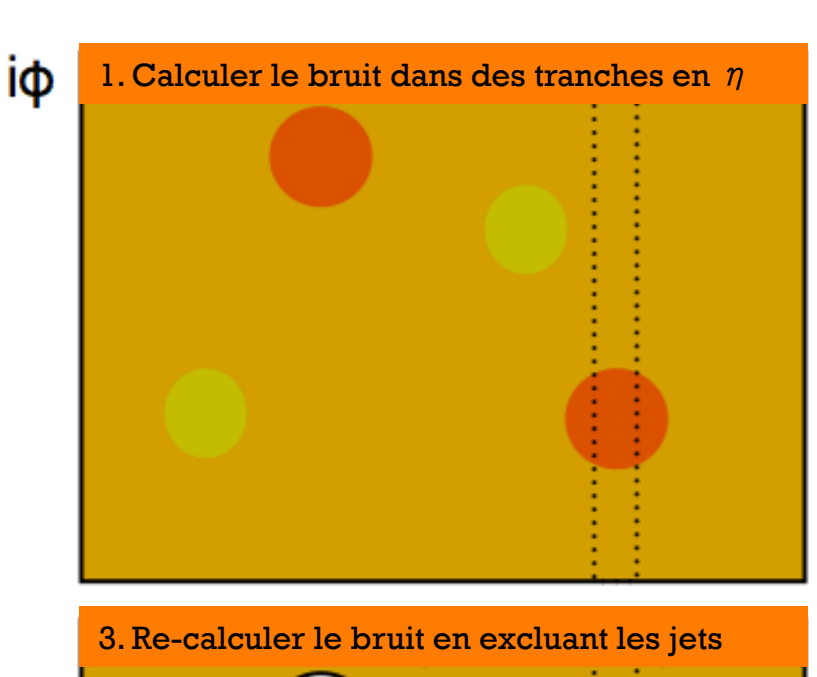
- Jets calorimétrique
 - utilisent le calorimètre électromagnétique ECAL et le calorimètre hadronique HCAL
- Jets Particle Flow
 - utilisent le trajectographe et les deux calorimètres ECAL et HCAL

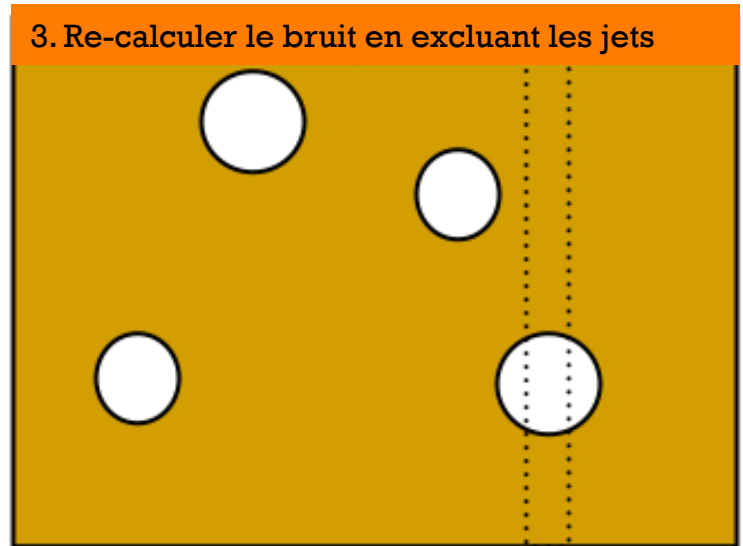
Algorithmes de reconstruction des jets

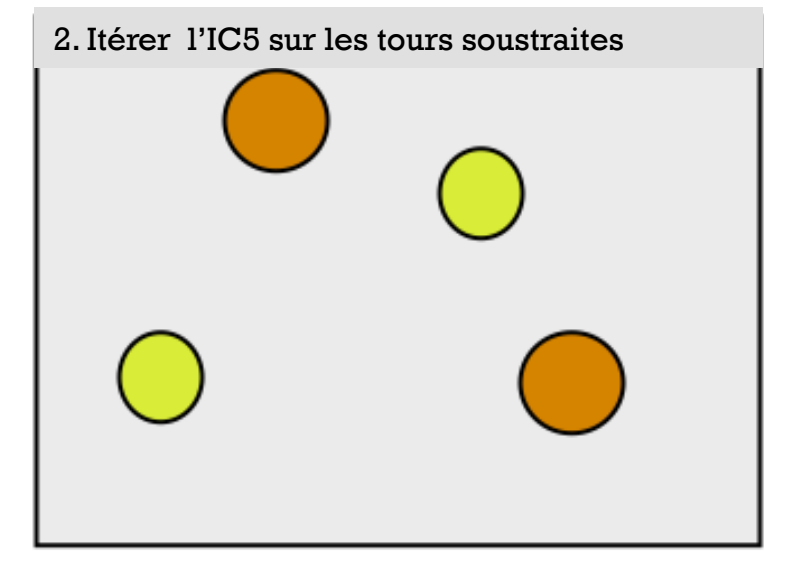
- Algorithme du Cone Iteratif IC5 (R=0.5) pour reconstruire les jets calorimétriques avec soustraction du bruit de fond événement par événement (O. Kodolova et al., EPJC (2007))
- Algorithme du type Anti-k_T pour les Jets Particle Flow (M. Cacciari, G. P. Salam, G. Soyez, JHEP 0804:063,2008.)

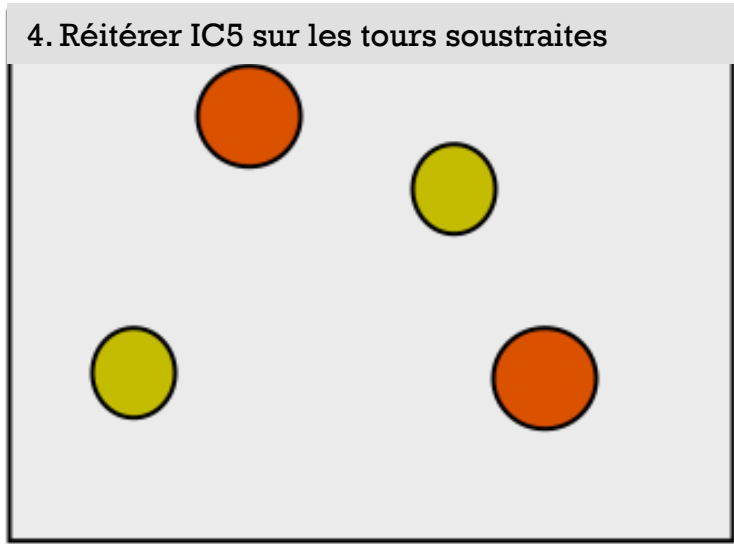
+

Soustraction du bruit de fond



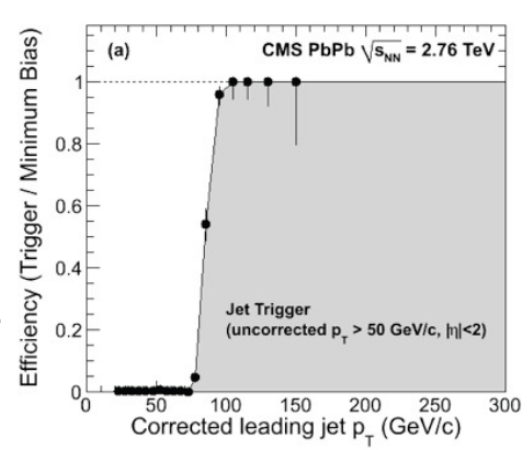






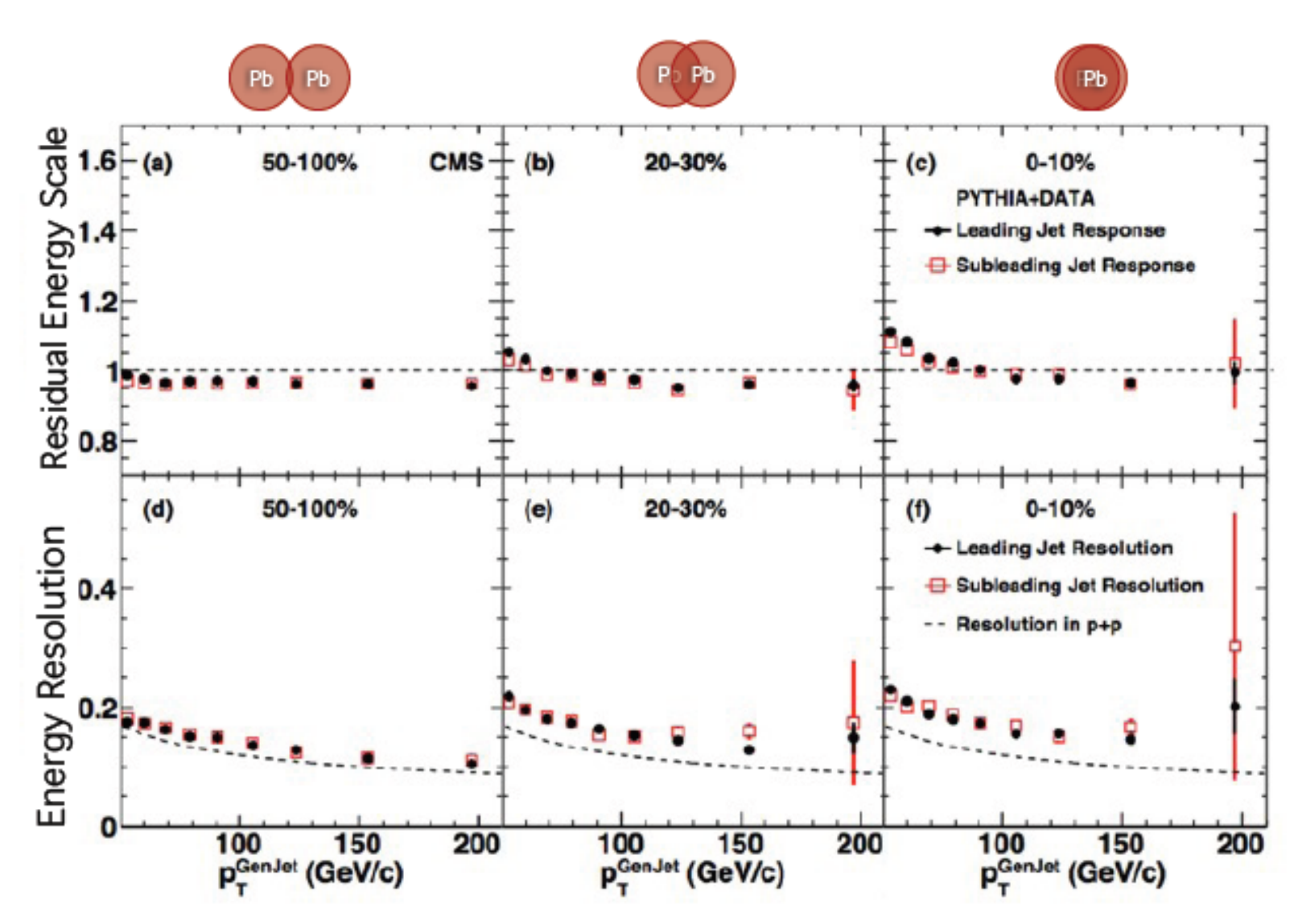
+ Comment explorer l'asymetrie dijet?

- Sélection des di-jets
 - Leading jet : $E_T^{jl} > 120 \text{ GeV}$
 - trigger efficace
 - Sub-leading: $E_T^{j2} > 50 \text{ GeV}$
 - Au-dessus des fluctuations du bruit de fond



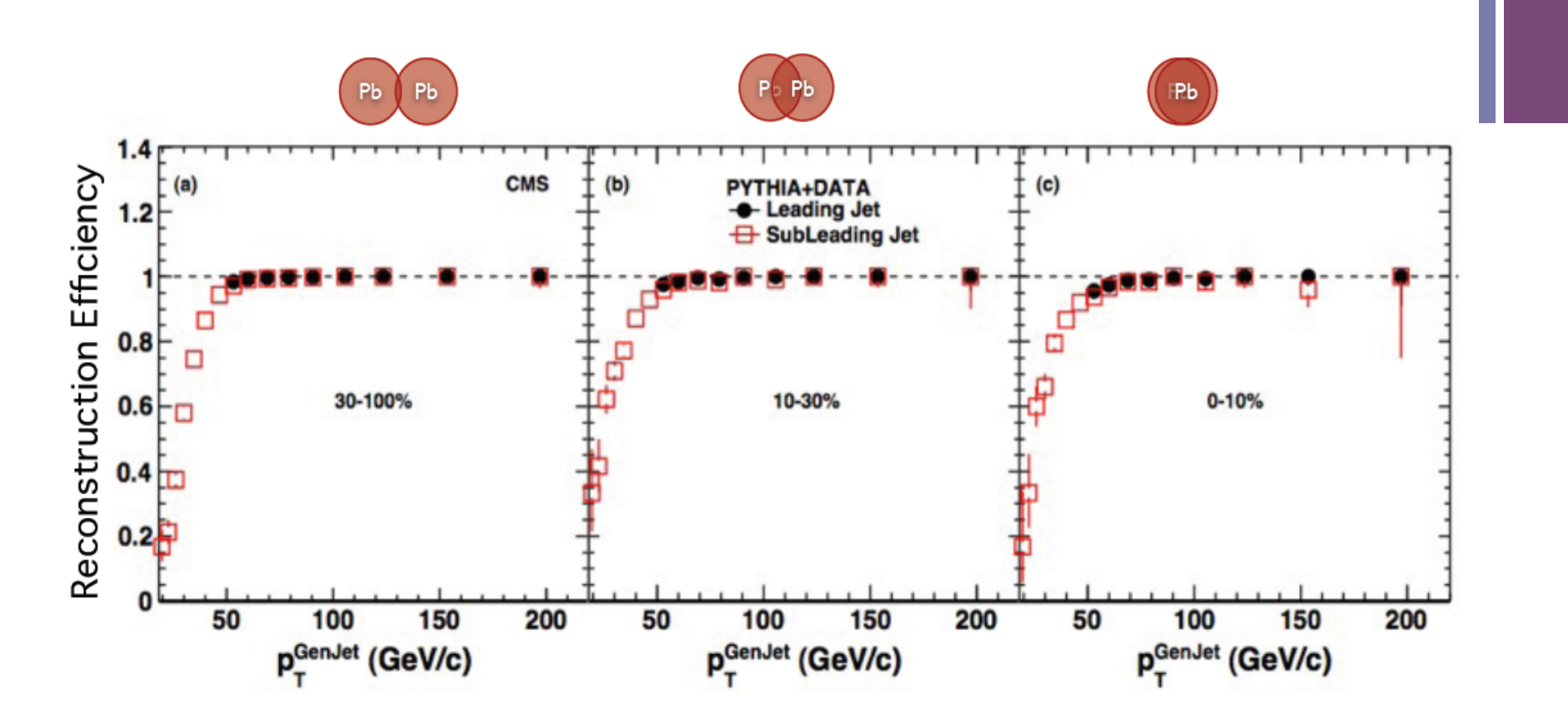
- Leading et sub-leading jets possèdent $|\eta| < 2$
- Sélection des jets dos à dos avec $\Delta \phi > 2\pi/3$
- $A_J = \frac{p_T^{j1} p_T^{j2}}{p_T^{j1} + p_T^{j2}}$ utilisé pour visualiser le "jet quenching"
- A quoi comparer?
 - PYTHIA: D6T tune
 - PYTHIA + Données : des événements dijet de PYTHIA superposés à un bruit de fond réel
 - PYTHIA + HYDJET : des événements dijet de PYTHIA superposés à un bruit de fond simulé

+ Résolution et échelle d'énergie



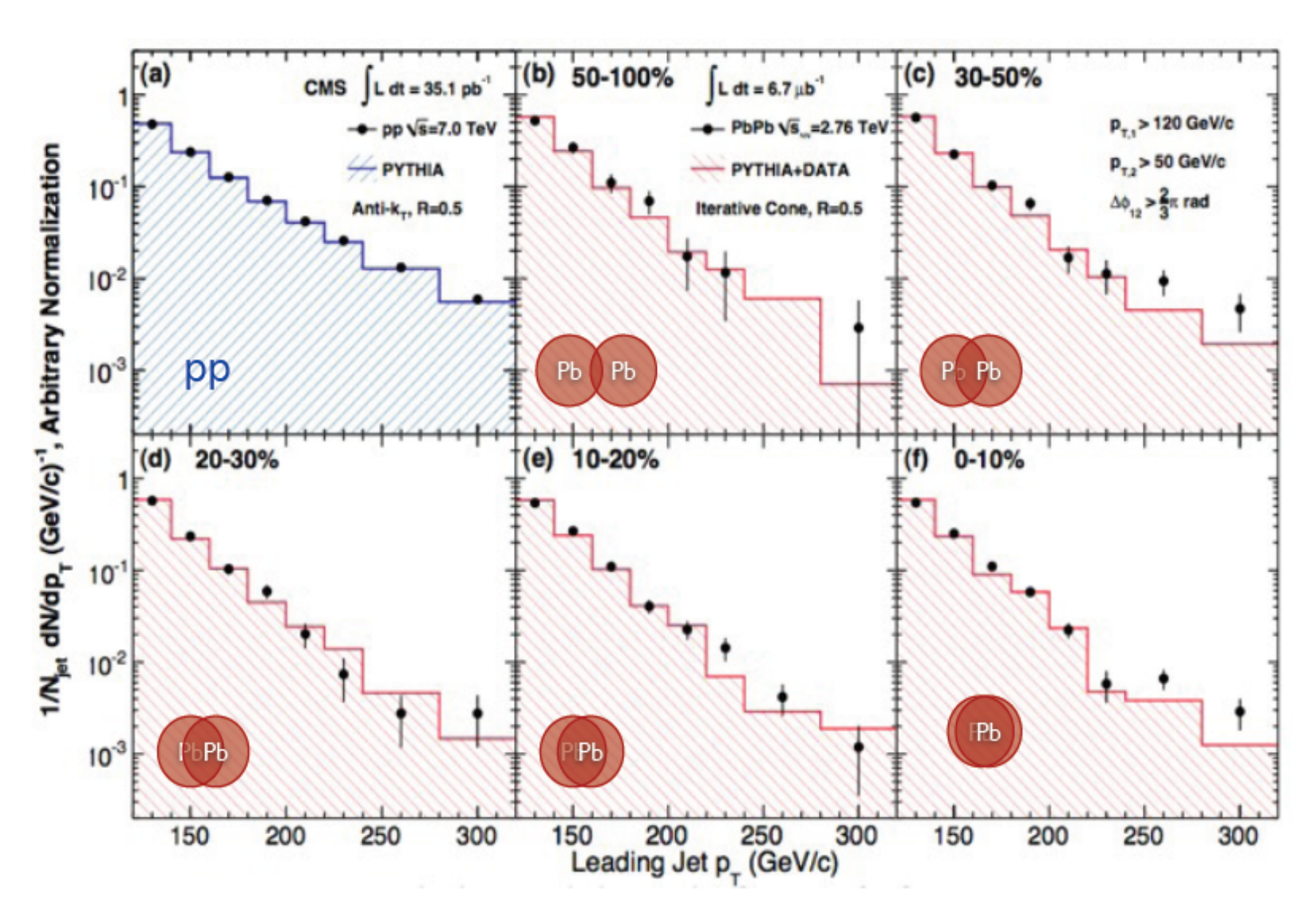
■ Pour les événements périphériques l'énergie est légèrement sousestimée alors qu'elle est surestimée pour les évènements centraux

+Efficacité de reconstruction des jets



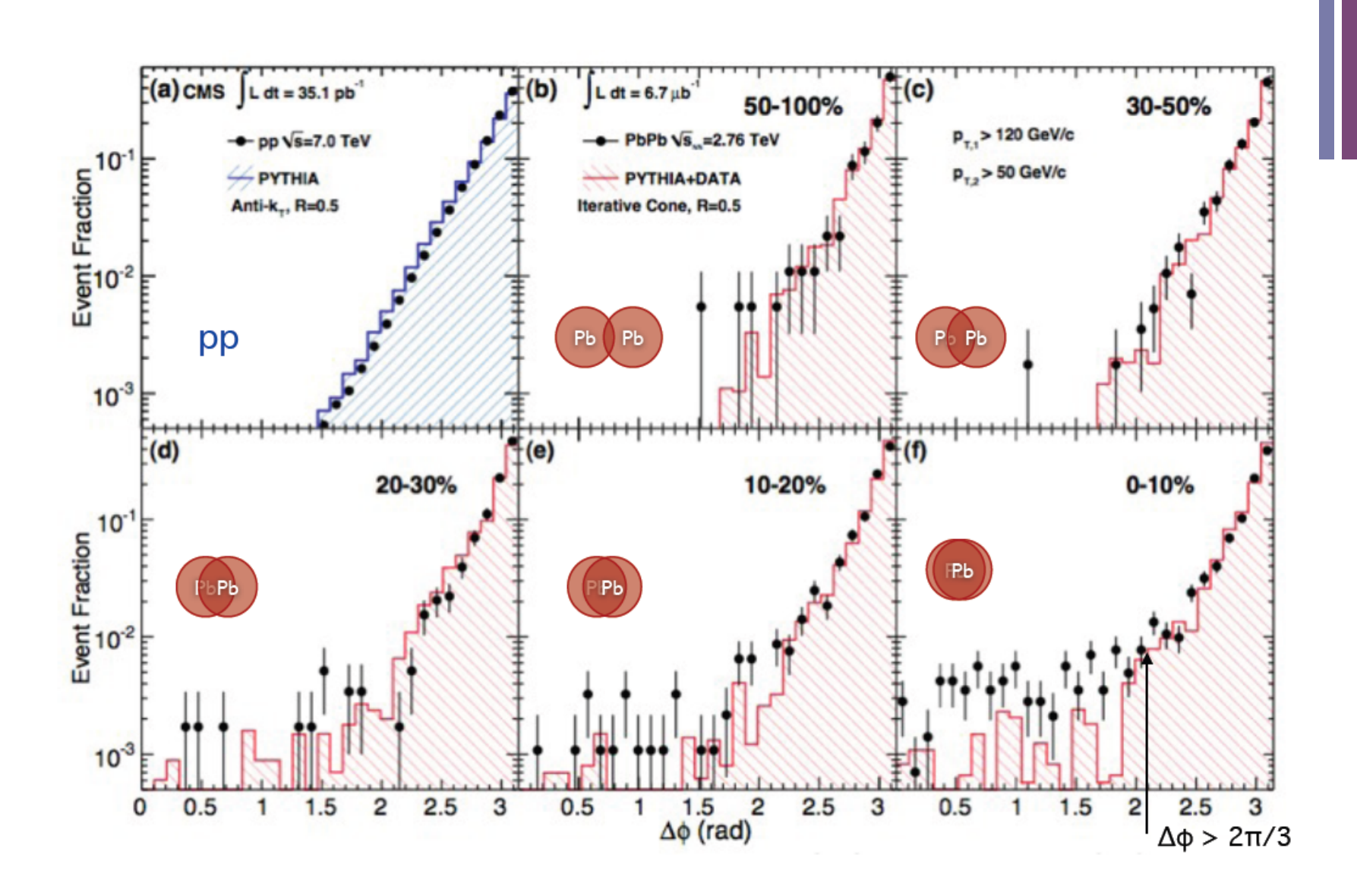
■ Efficacité de reconstruction est proche de 100% pour des jets possédant un $p_T > 50 GeV/c$

+Spectre du leading jet

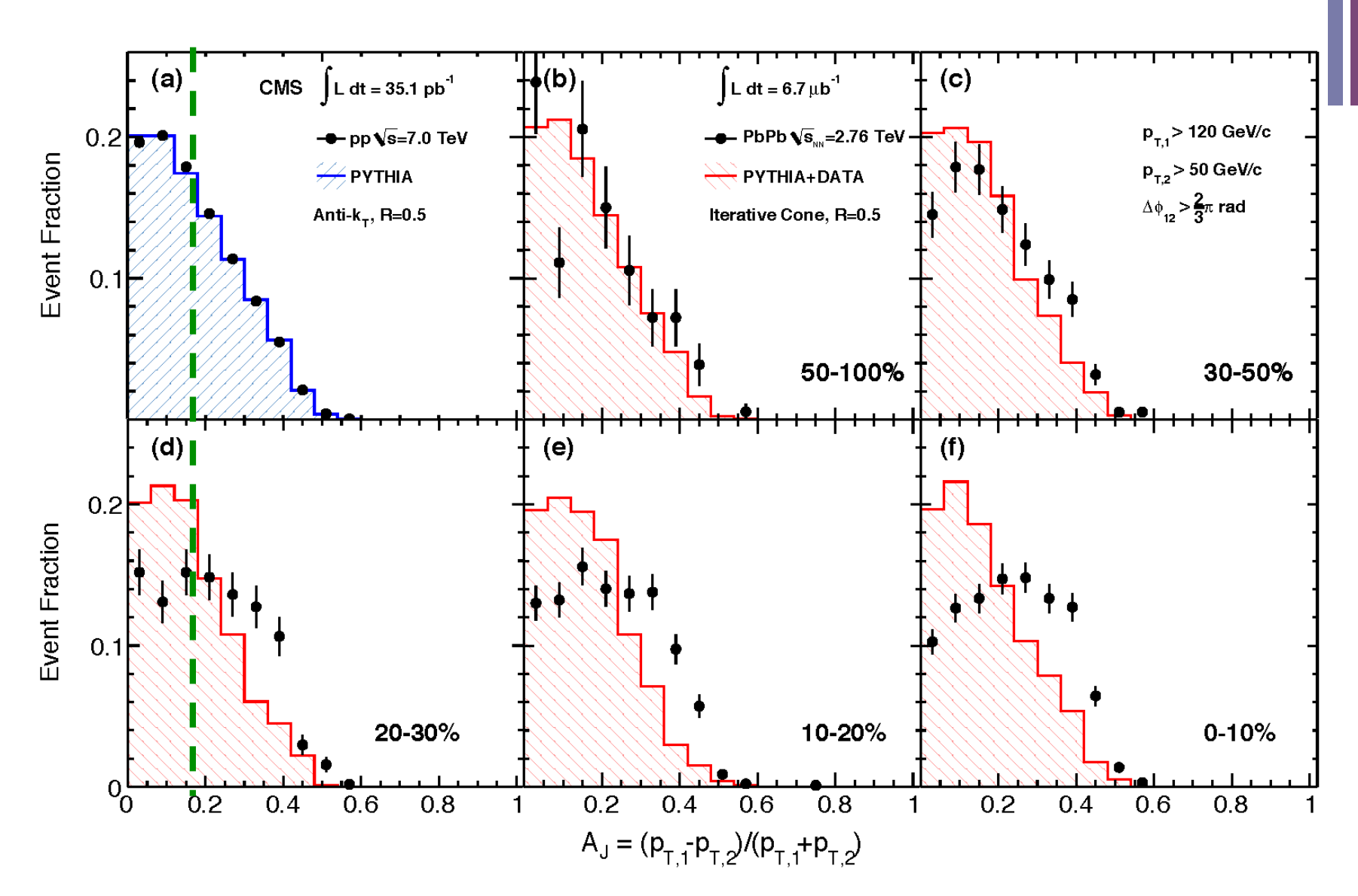


■ Le spectre du leading jet est comparable à PYTHIA

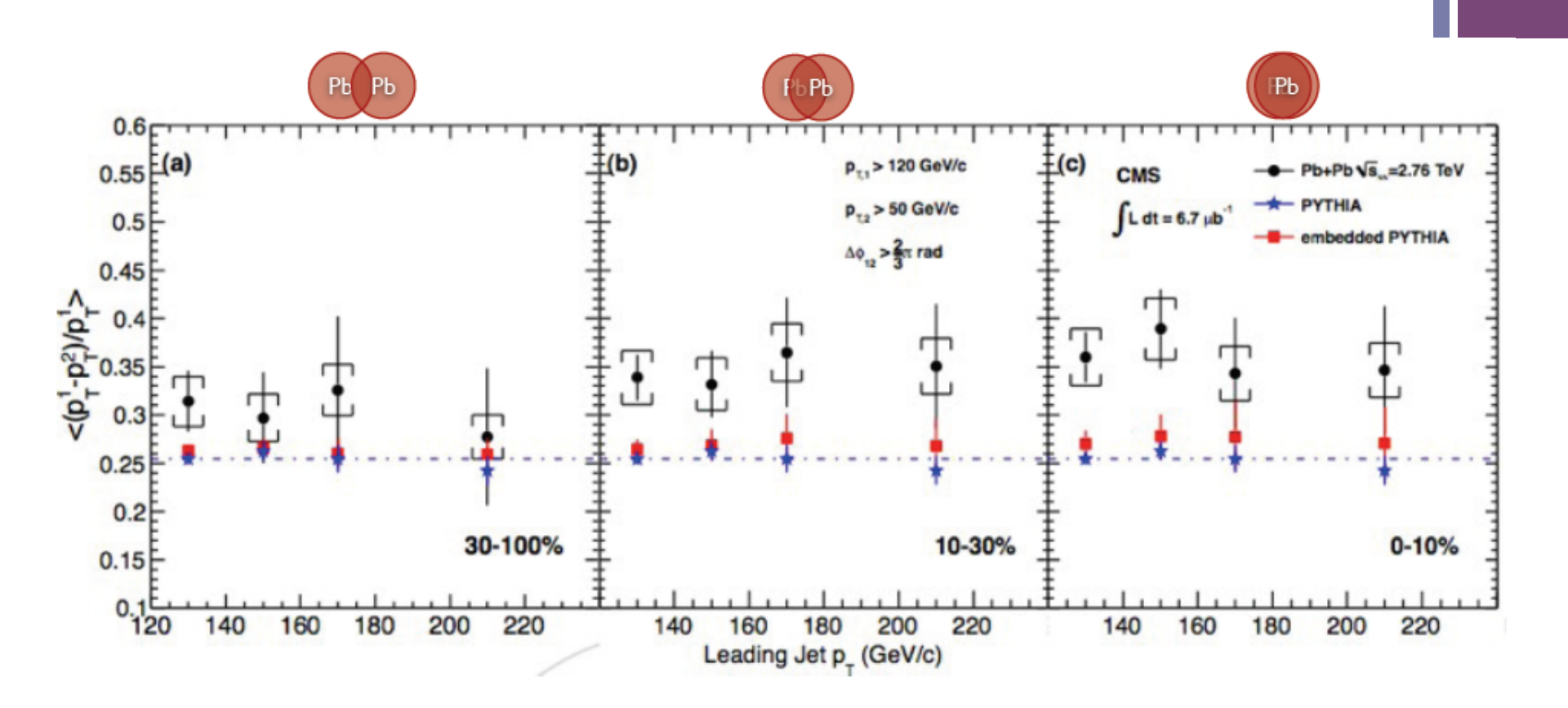
+ Corrélations azimutales



+ Evidence de l'asymétrie des jets



+ Dépendance en p_T du leading jet



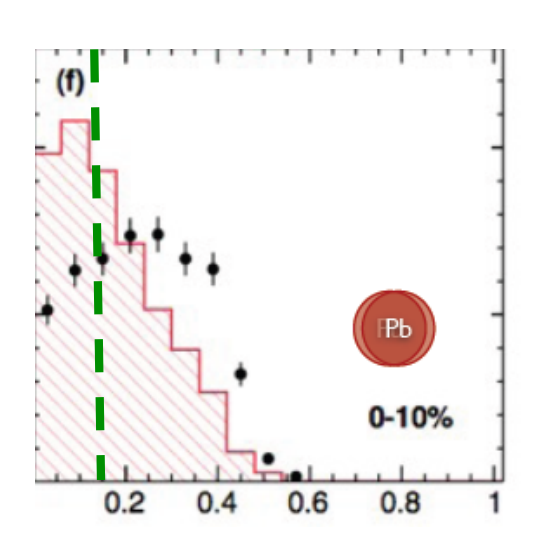
■ L'asymétrie en p_T varie peu en fonction du p_T du leading jet

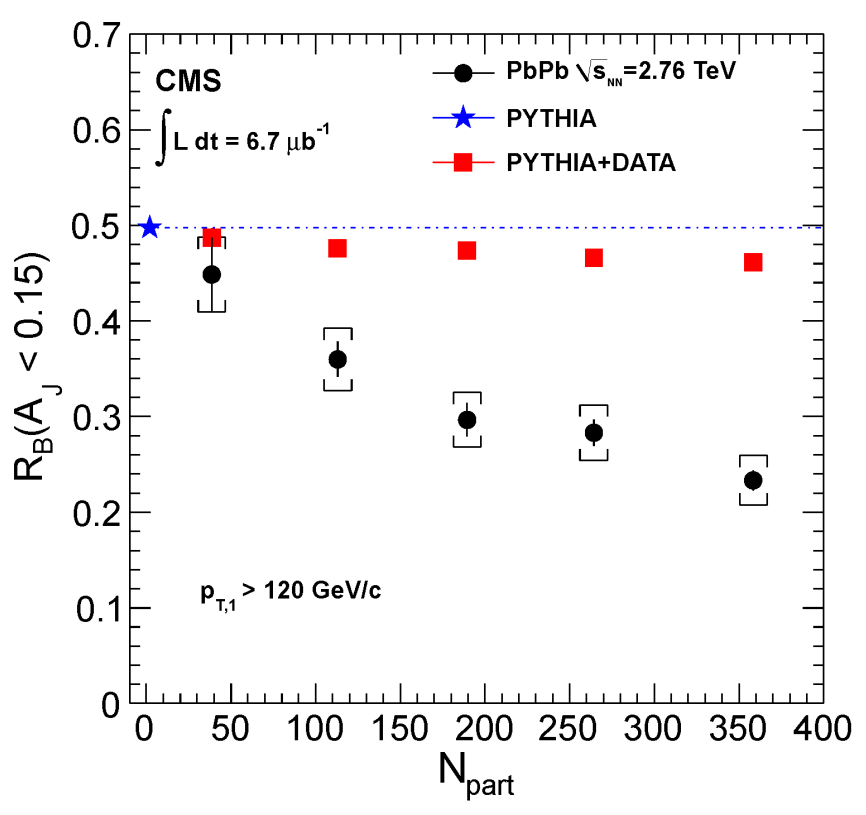
+ Fraction de jets balancés

■ R_B représente la fraction des jets >120GeV/c qui trouvent un jet opposé d'énergie proche









■ Suppression des jets d'environ 50% pour les collisions les plus centrales

+Où va donc l'énergie?

- Des particules qui n'atteignent pas le calorimètre? Ou bien des particules qui s'échappent du cône?
- Comment le savoir ?
- 2 pistes : les informations du trajectographe, nous permettent de réaliser une étude approfondie
 - Corrélations jets-particules : explorer les propriétés de fragmentation avec les corrélations angulaire entre les traces et les axes des jets avec la soustraction du bruit de fond
 - p_T manquant explorer le p_T manquant sur l'axe du jet dans différentes gammes en p_T



Correlation jet-particule

■ Bruit de fond estimé dans un cône de R=0.8 symétrique au single jet en évitant les variations azimutales dues au effets du détecteur et au flot hydrodynamique

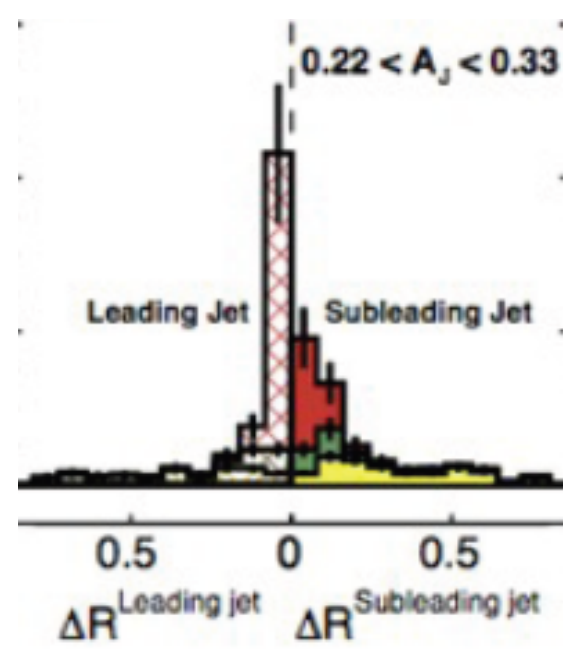


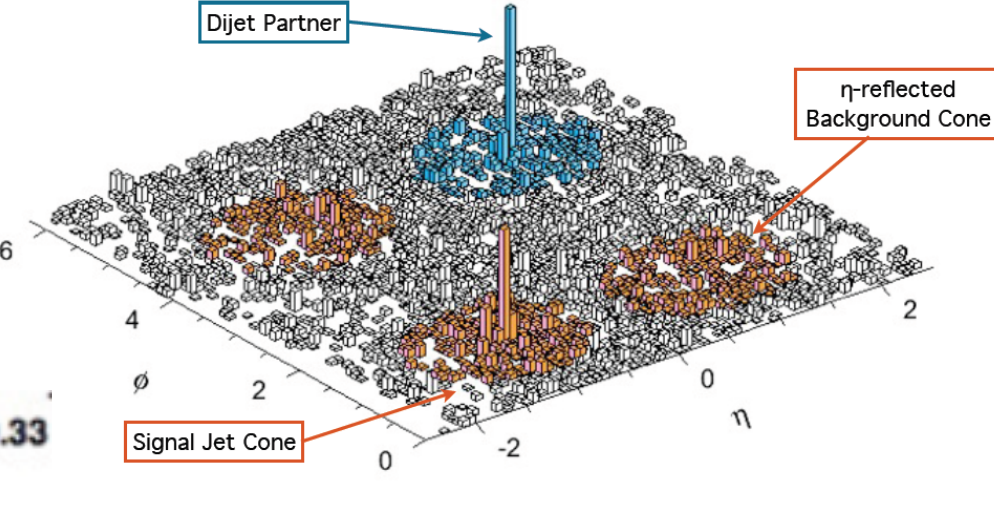
■ Différentes gamme en p_T



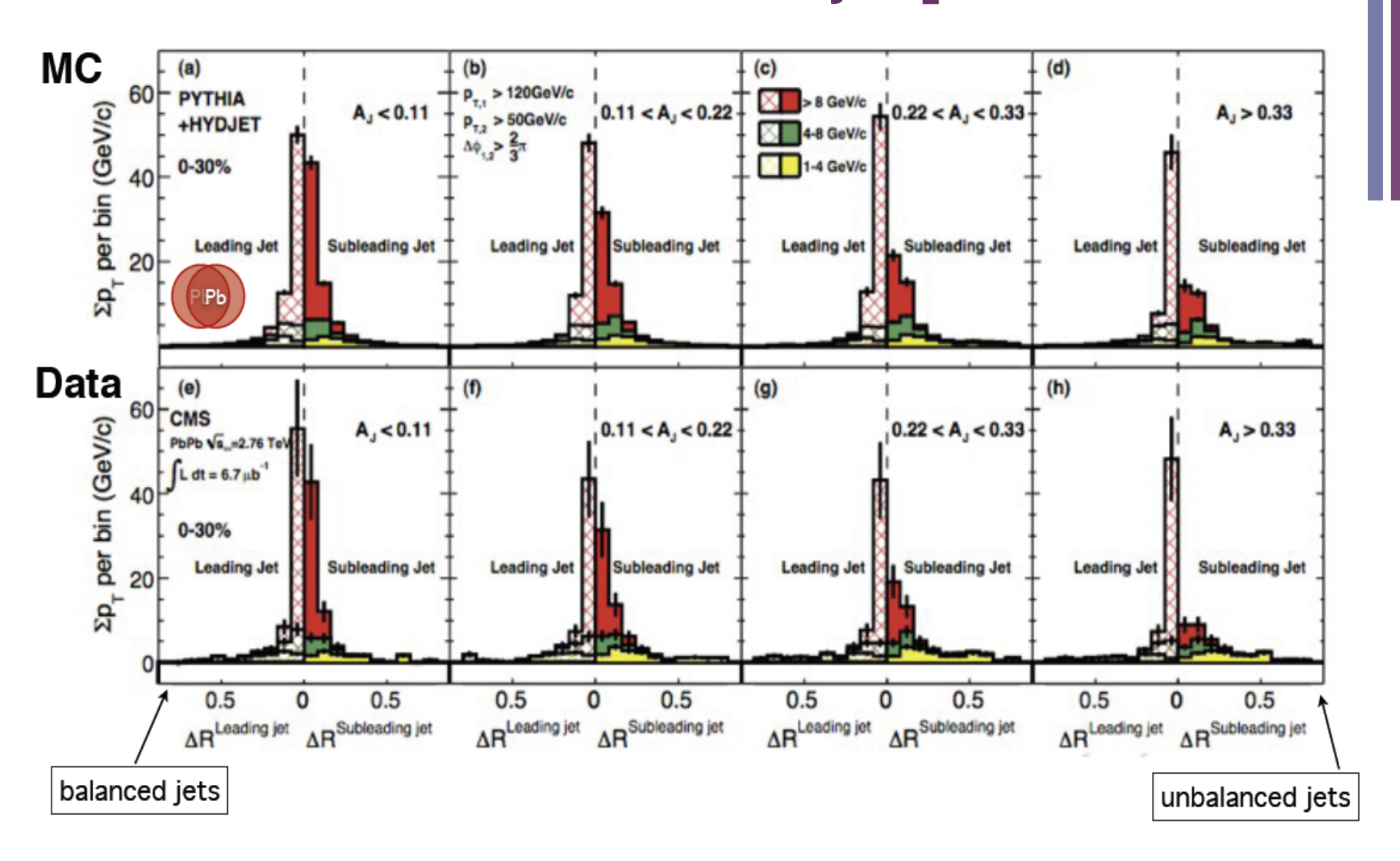
$$4.0 - 8.0$$

$$1.0 - 4.0$$

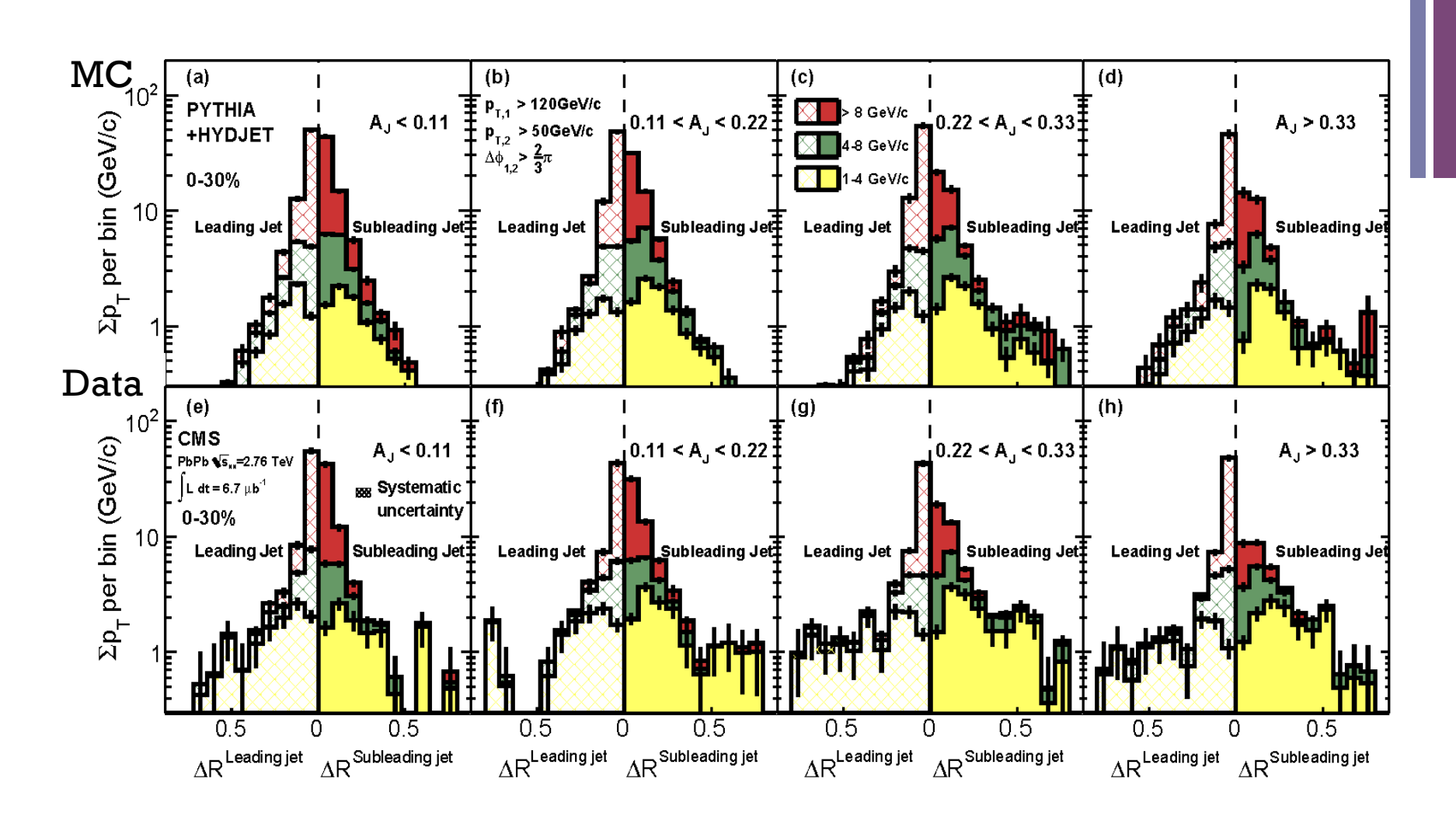




+ Résultats des correlations jet-particule



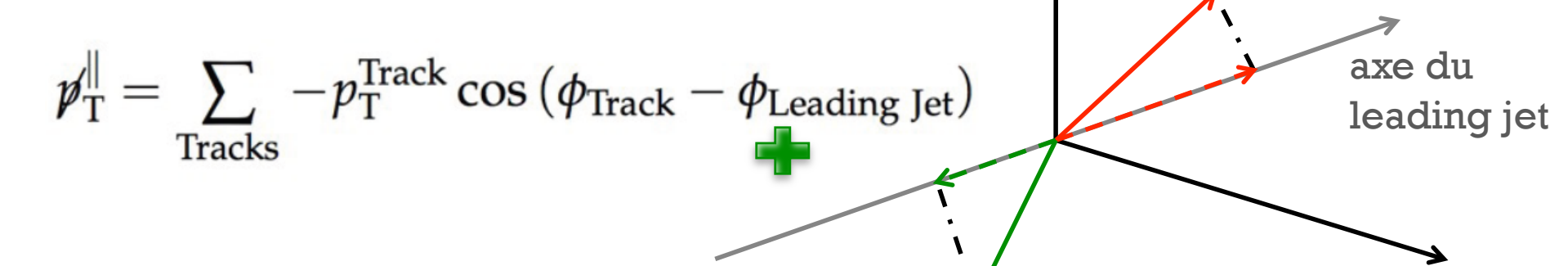
+ Résultats des correlations jet-particule



■ Dans les données, plus d'énergie portée par les particules de bas p_T <4GeV/c, à grand ΔR

+ p_T manquant

- Projeter le p_T des traces sur l'axe du leading jet et voir ce qui manque pour toutes les traces de $p_T > 0.5 \text{GeV/c}$ et $|\eta| < 2.4$
- Pas de soustraction du bruit de fond
 - Toute traces de $p_T > 0.5$ GeV/c et $|\eta| < 2.4$



■ Dans les différentes gammes en p_T:

$$0.5 - 1.0$$

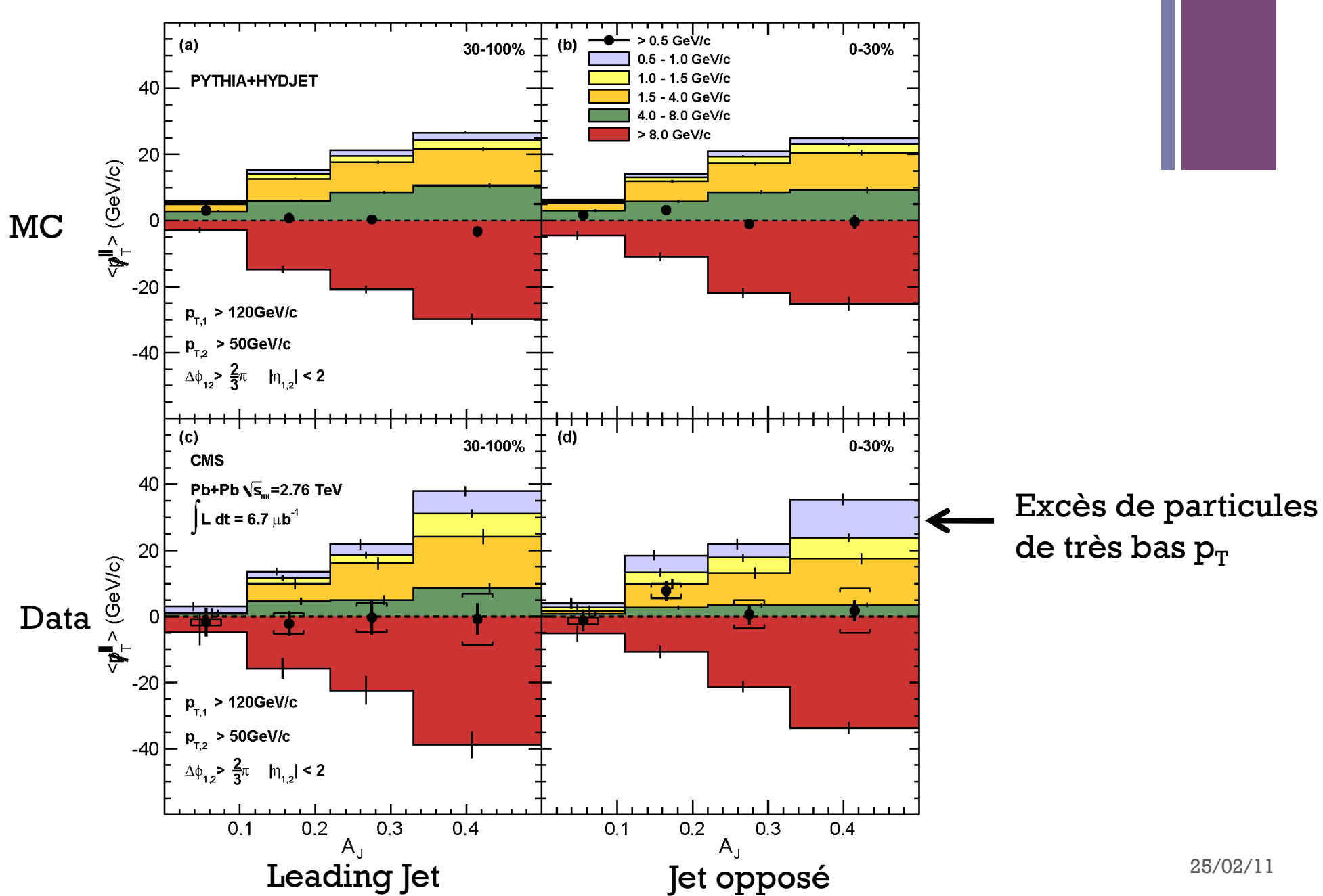
$$1.0 - 2.0$$

$$2.0 - 4.0$$

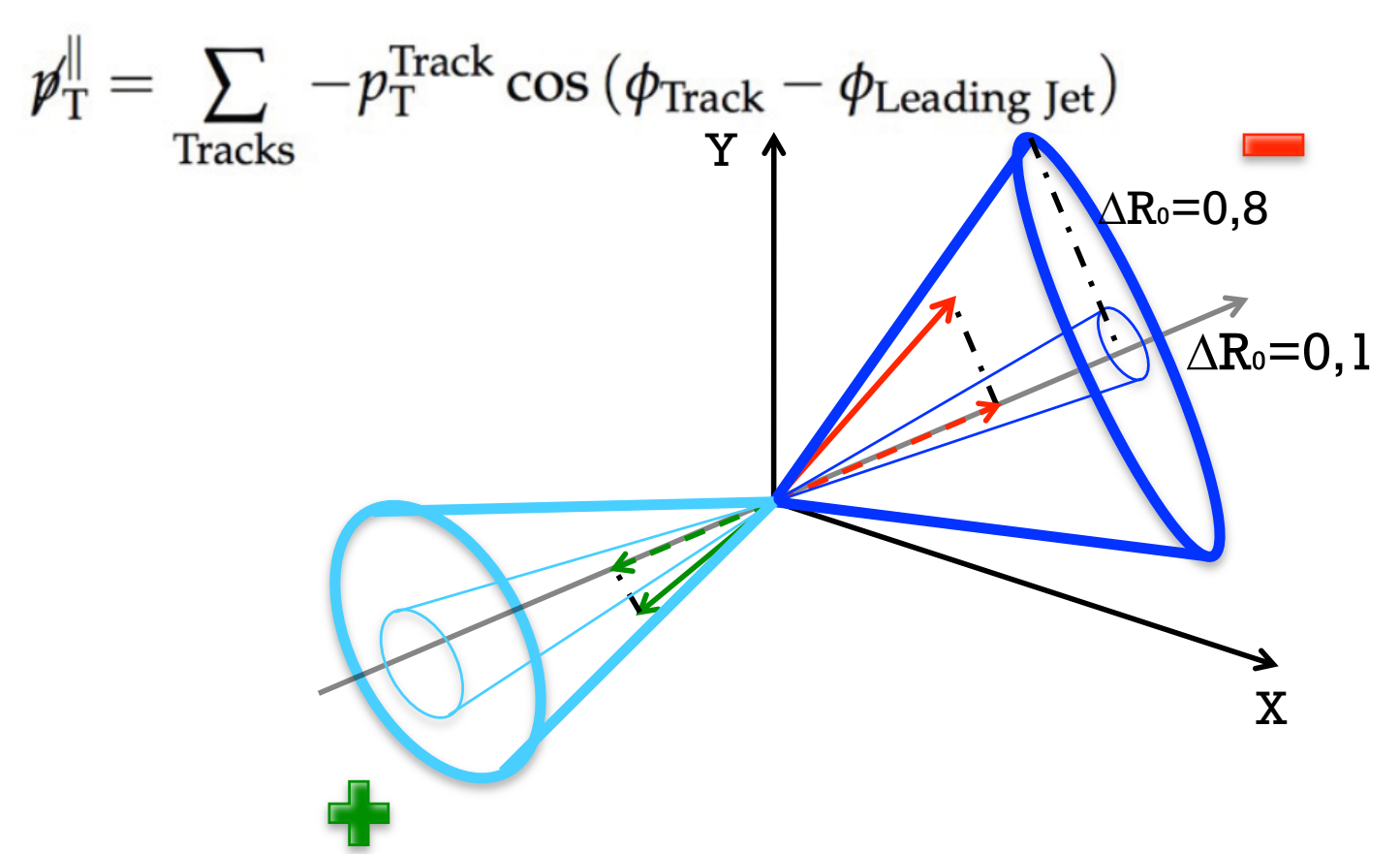
$$4.0 - 8.0$$

> 8.0 GeV





+ p_T manquant



■ Dans les différentes gammes en p_T:

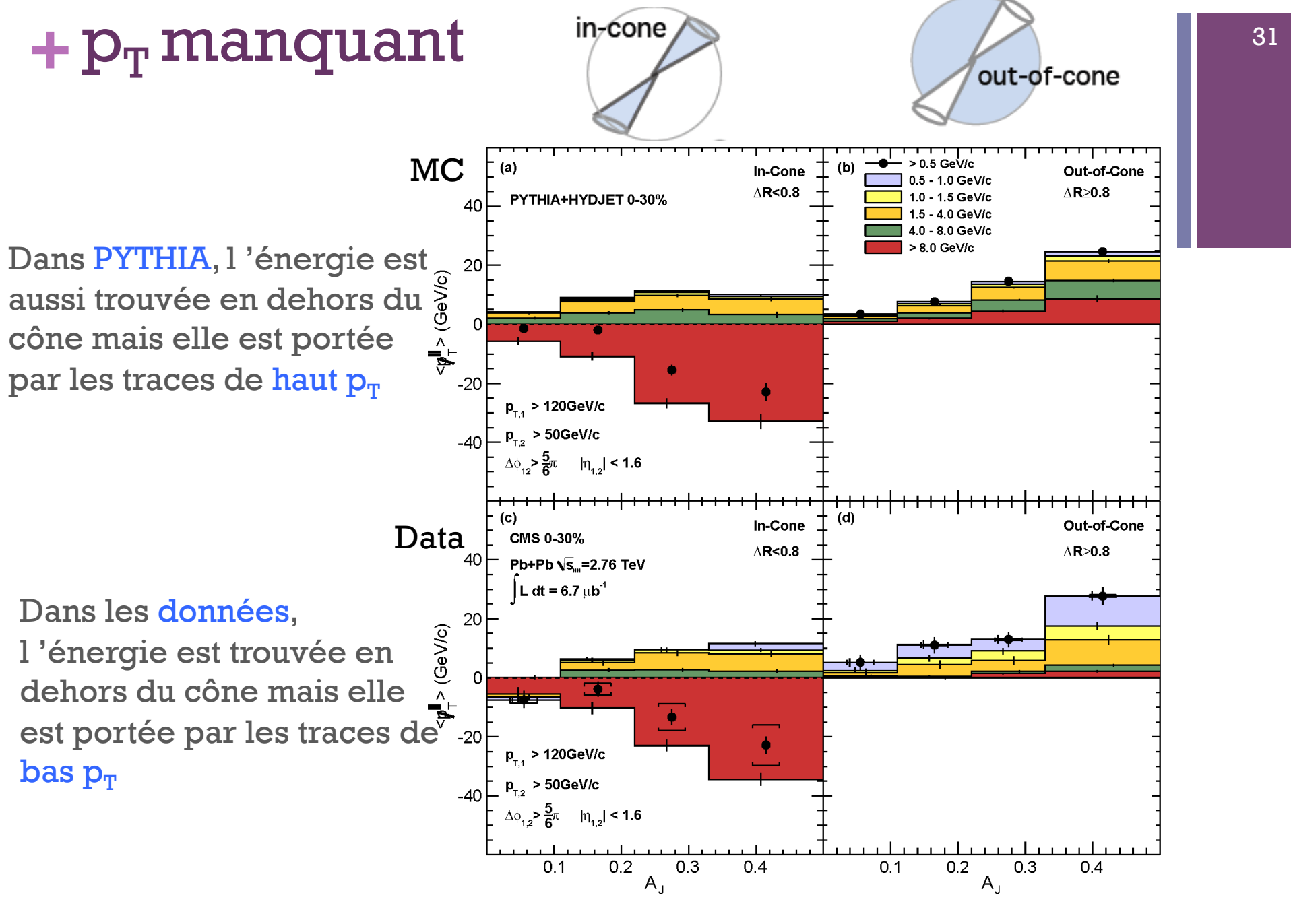
0.5 - 1.0

1.0 - 2.0

2.0 - 4.0

4.0 - 8.0

> 8.0 GeV



Leading Jet

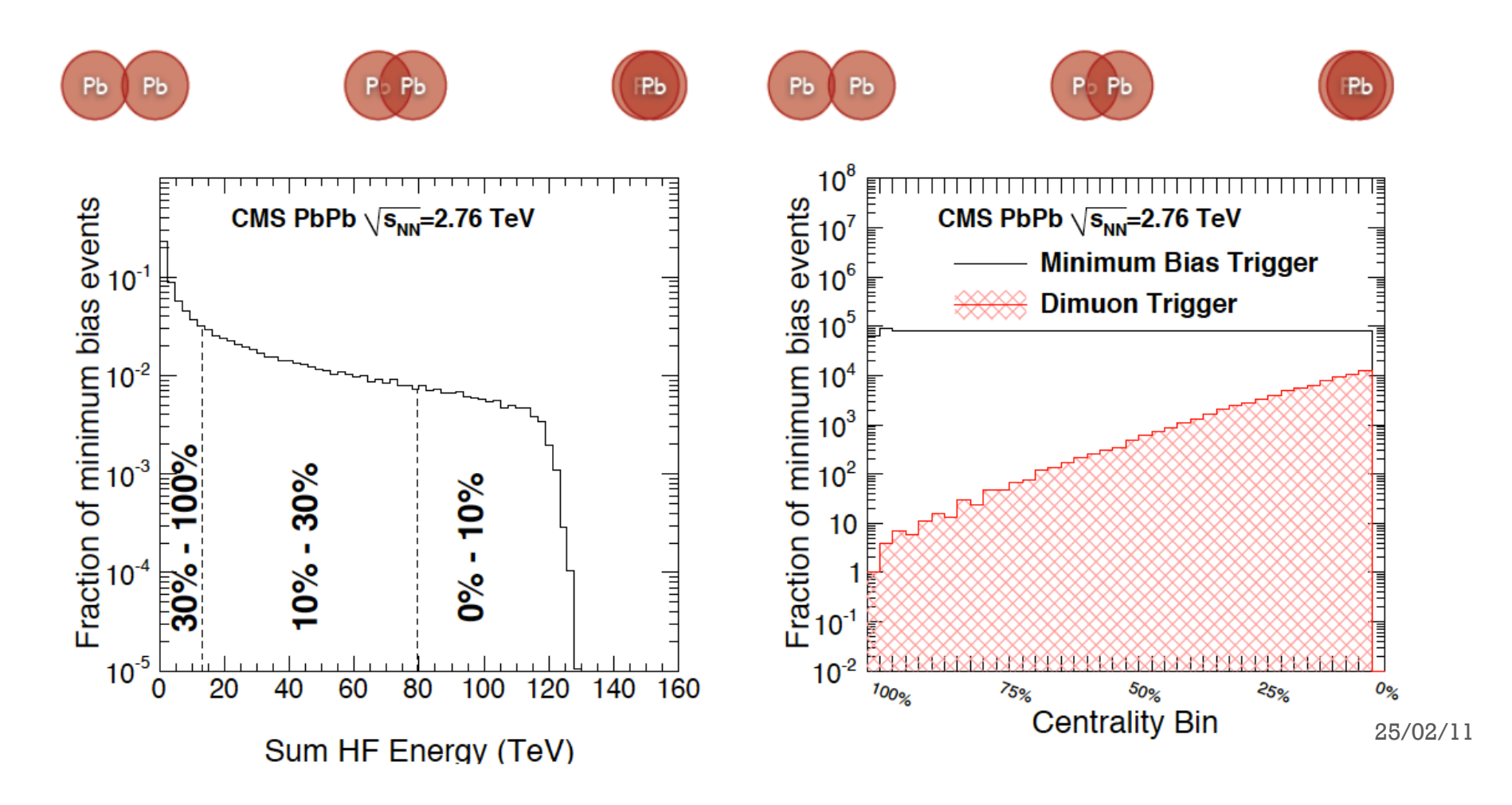
Jet opposé

+ Dilepton dans les ions lourds, motivation

- Le Z n'est pas modifié par le milieu, et représente une bonne sonde pour le PQG
- Une référence pour les quarkonia et aussi pour le jet opposé dans les événements Z-Jet
- Les Y(1s,2s,3s) pourrait fondre dans le milieu, non étudié à RHIC
- Les J/ ψ mal compris à RHIC pourraient être recombiné/ augmenté au LHC. ATLAS dit que les J/ ψ de grand p_T sont supprimés, mais ne montre pas la séparation de la contribution du B J/ ψ http://arxiv.org/abs/1012.5419

+ En ions lourds Notion de centralité

- La centralité d'une collision est inversement proportionnelle à l'énergie déposée dans HF
- Pour les di-leptons

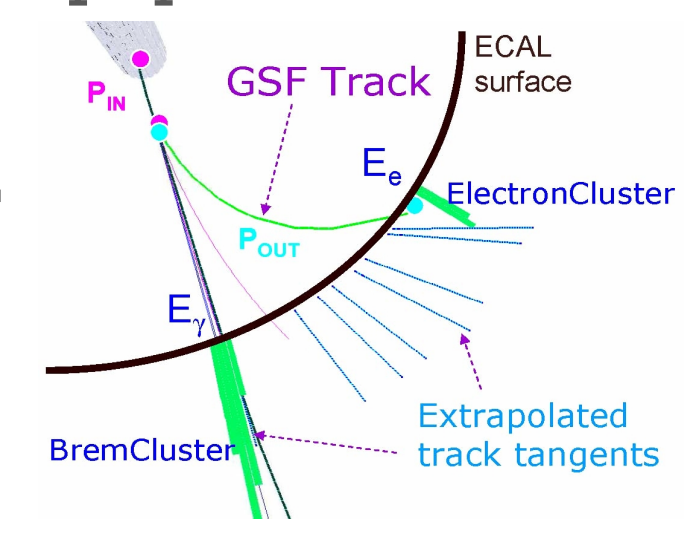


+ Z→ e⁺e⁻ en ions lourds 34 CMS Experiment at LHC, CERN Data recorded: Sun Nov 14-04:29:43 2010 CEST Run/Event: 151058 / 4096951 Lumi section: 747 ECal 357, pt: 22.6 GeV ECal 358, pt: 18.9 GeV ECal 2339, pt: 37.9 GeV

+ Reconstruction des électrons

■ Reconstruction des électrons en p+p

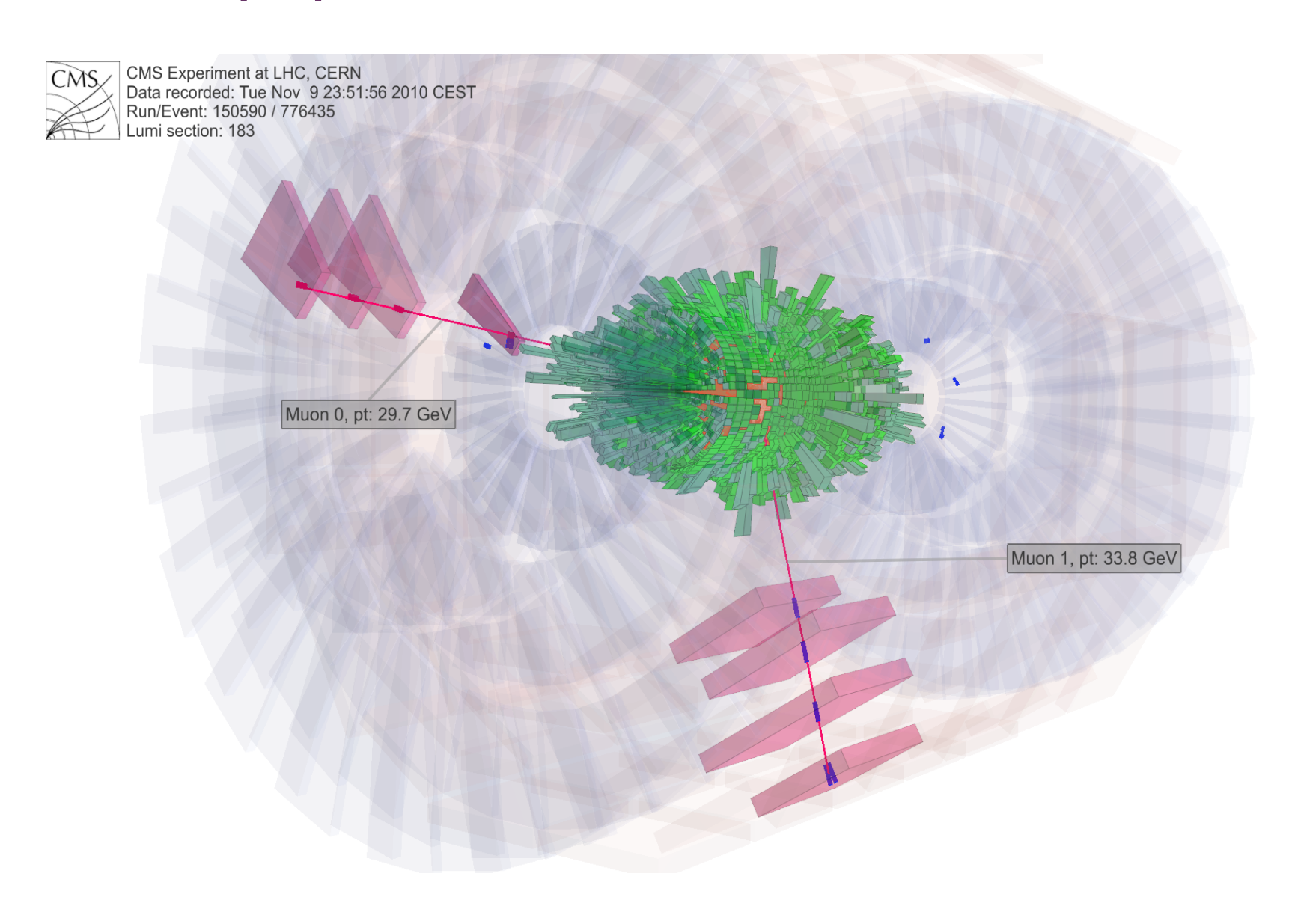
- Difficulté
 - Beaucoup de matière devant Ecal
 - Champs magnétique important 3.8T
- 2 méthodes de reconstruction
 - Tracker Drien
 - Ecal Drivien



■ Reconstruction des électrons dans les ions lourds

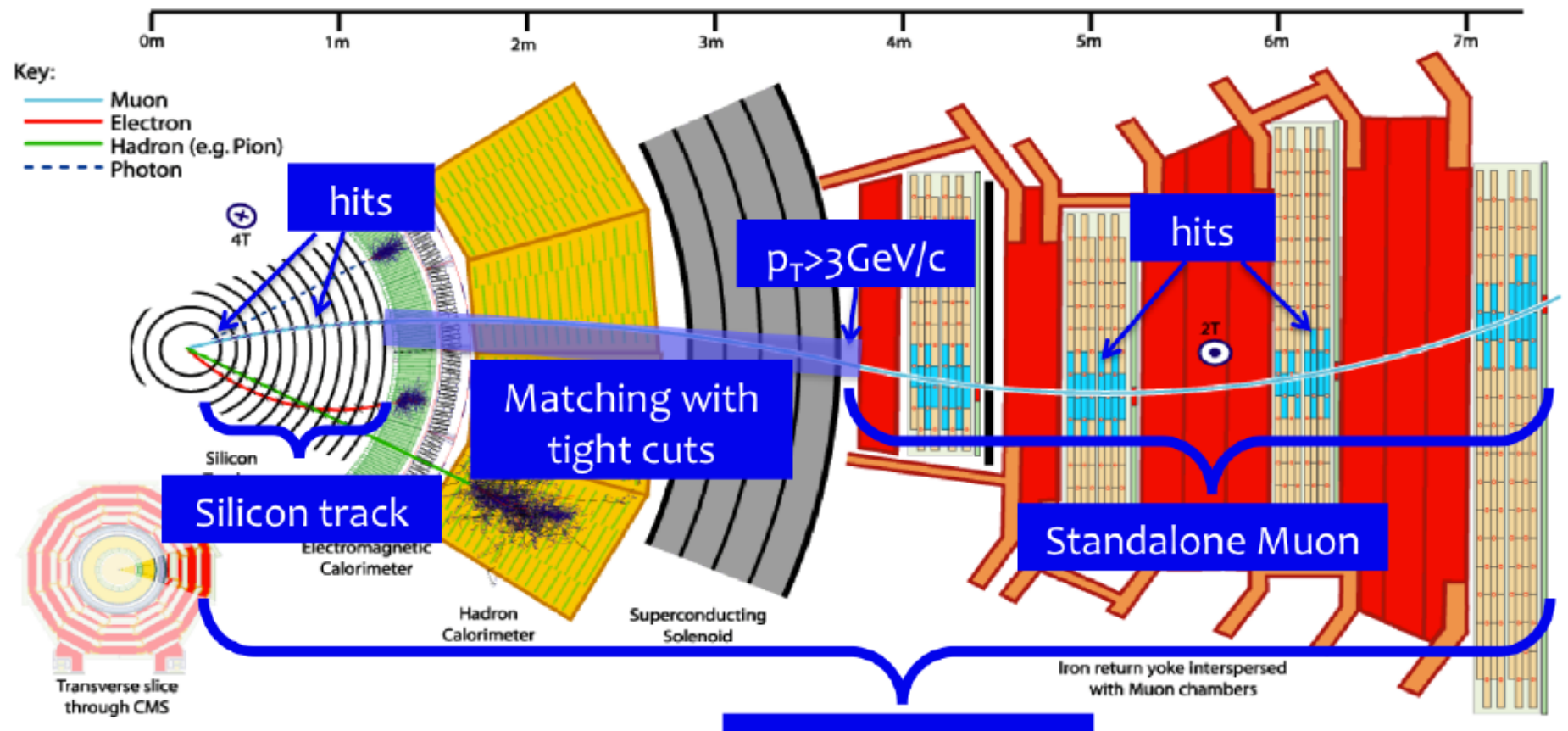
- Difficulté supplémentaire
 - Haute multiplicité des traces rend difficile l'association cluster-trace
- Méthode
 - Ecal Driven : implémentée dernièrement dans la Reconstruction officielle des ions lourds

$+Z \rightarrow \mu \mu$ en ions lourds



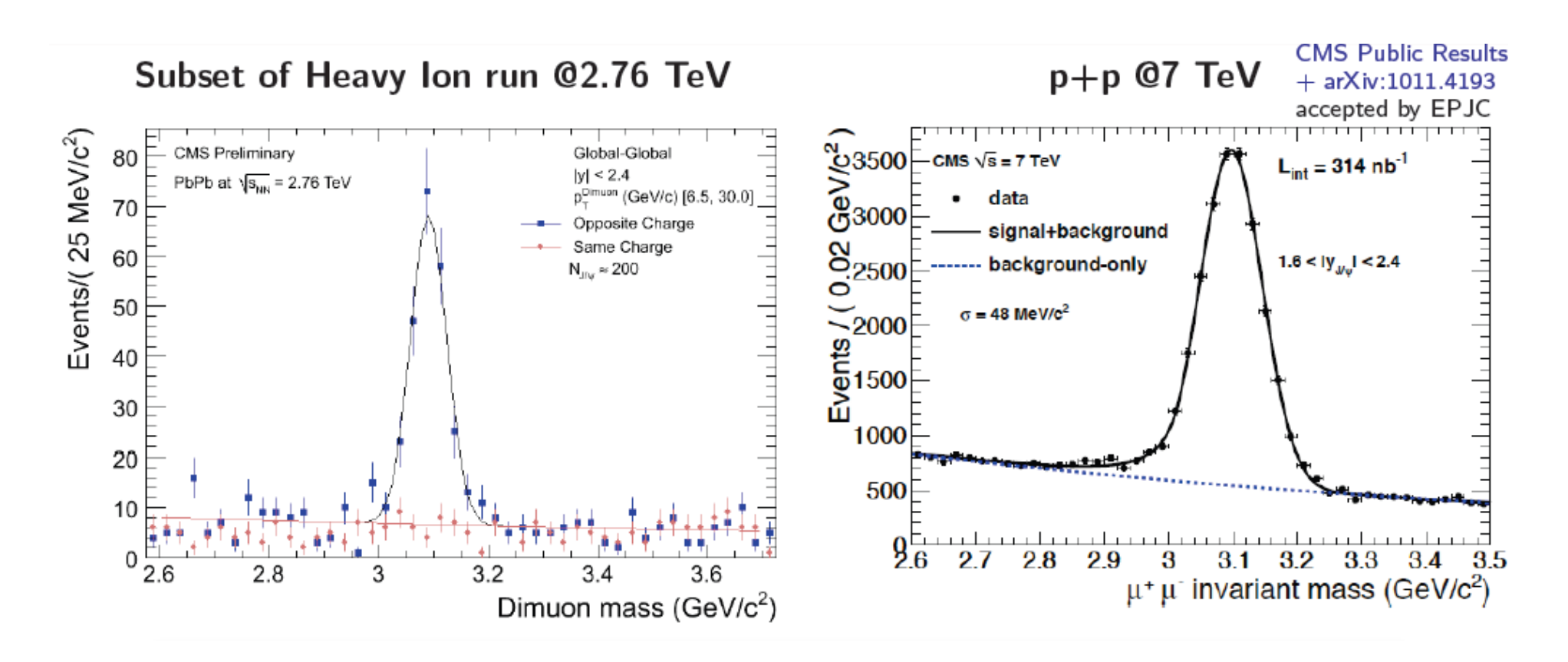
+ Mesure des dileptons

- Couverture en rapidité $| \eta | < 2.4$
- lacktriangle Excellente résolution en masse pour les dimuons varie avec η
 - $| \eta | < 2.2 \sigma^{pp} (J/\Psi) \approx 40 \text{MeV/c}^2$
 - $| \eta | \approx 0 \sigma^{pp} (J/\Psi) \approx 20 \text{MeV/c}^2$



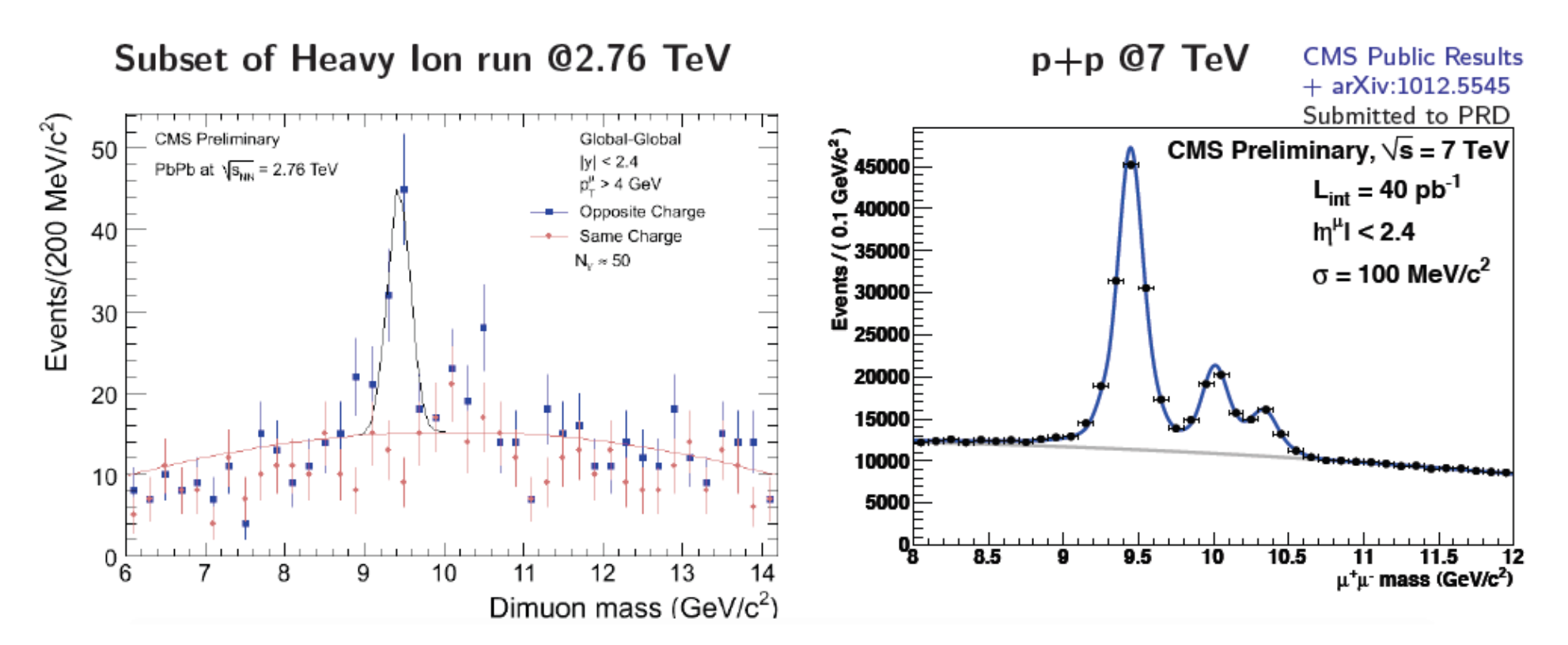
+J/ ψ

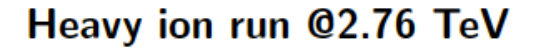
- Une partie des événements ions lourds analysés,
 - $|y| < 2.4 p_T^{\mu \mu}$ [6.5,30] GeV/c
- Coupures basiques réduisent le bruit de fond

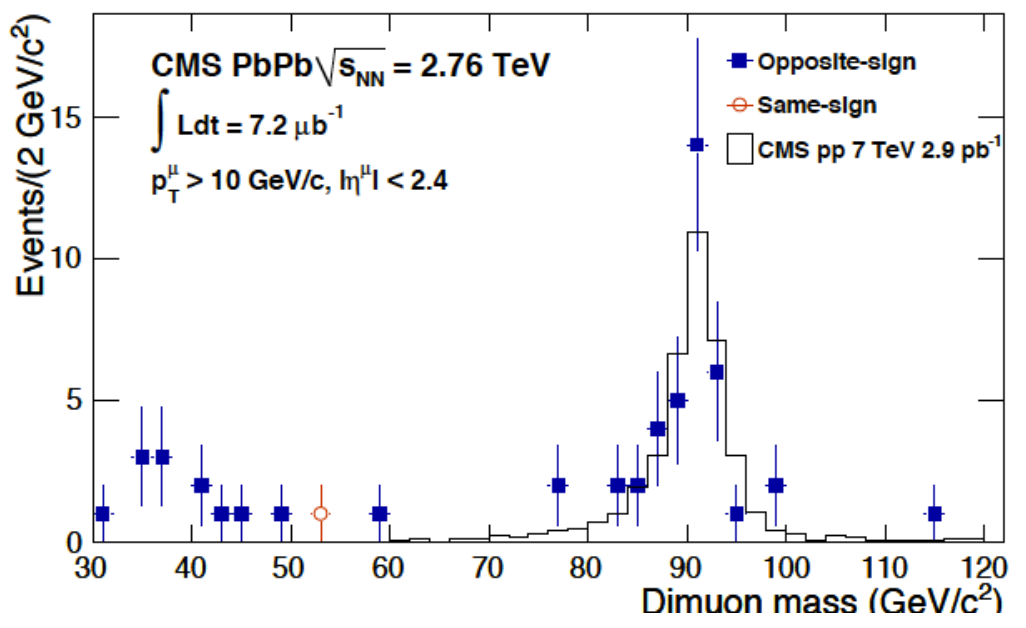


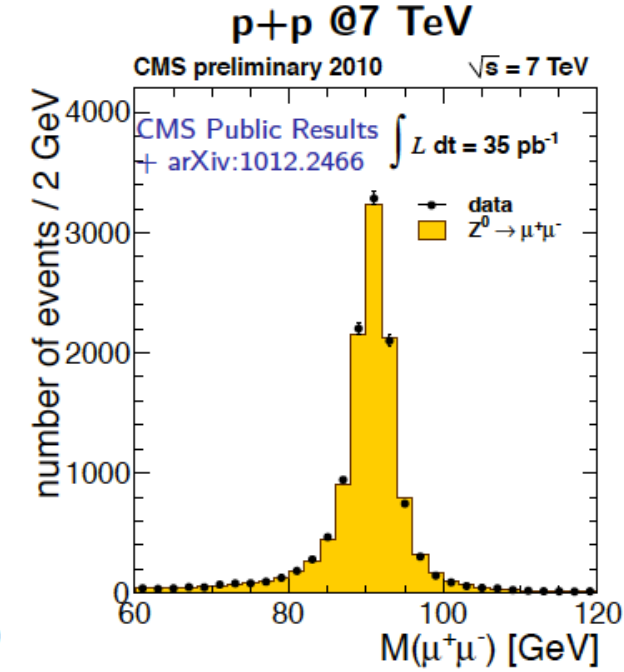


- Une partie des événements ions lourds analysés,
 - $|y| < 2.4 p_T^{\mu} > 4 GeV/c$
- Bruit de fond plus important que celui du J/Ψ









- Tout entre 30-120GeV/c2
- Un événement de même signe dans les 39Z
- Résolution de la masse comparable à pp

+ Mesure de dN/dy

■
$$dN/dy(|y| < 2.0) = N_z/(\alpha \epsilon N_{MB} \Delta y)$$

- α ϵ : le facteur « acceptance x efficacité » estimé à partir d'événement PYTHIA superposés à des vraies données
- N_{MB}: nombre d'événement minimum bias
- $\triangle y = 4$

+ Acceptance et efficacité

■ Acceptance cinématique

$$\alpha = \frac{\#(Z)^{|\eta^{\mu}| < 2.4, p_T^{\mu} > 10 \text{ GeV}/c, |y_Z| < 2.0, M \in [60, 120]\text{GeV}/c^2}}{\#(Z)^{|y_Z| < 2.0, M \in [60, 120]\text{GeV}/c^2}}$$

- \blacksquare ε Trigger ε reconstruction ε identification 67%
- \blacksquare ε Trigger 94%
- Efficacité de tracking 76%, tracking beaucoup moins efficacé qu'en p+p
- Reconstruction des muon « stand alone» et matching 98%

+ Erreurs systématiques

- Erreurs systématique : 13%
- De la technique Tag-Probe
 - Tracking: 9.8%
 - Trigger : 4.5%
- Extrapolation de [35-60GeV/c²]
 - Bruit de fond résiduel : 4%
- Perte des événements
 - Qualité de sélection des muons : 2.6%
- Variation des paramètres de Glauber
 - Sélection des événements MB 3%
- Variation des formes des distributions en fonction de p_T et de y
 - Acceptance: 3%
- Autre (reconstruction des muons, enchâssement...): 1.5%

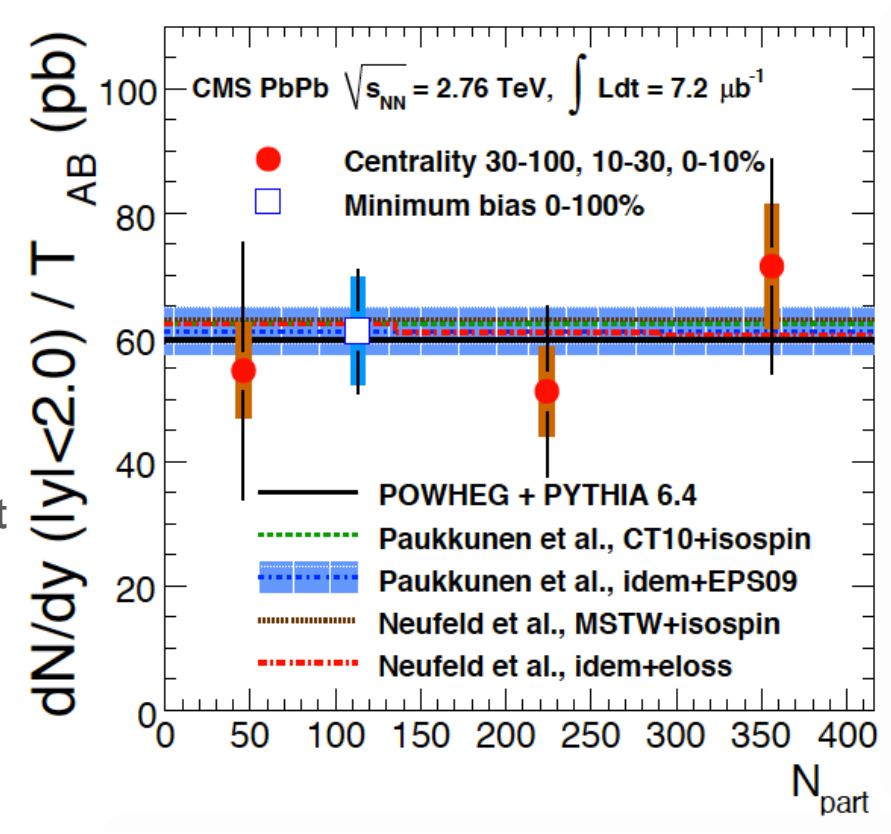
+ dN^Z/dy normalisé vs centralité



$$\blacksquare$$
 dN/T_{AB} =R_{AA} . d σ _{pp}

$$\bullet$$
 $\sigma_{\rm pp}$ =64 ± 5 mb à 2.76 TeV

- T_{AB} fonction de recouvrement nucléaire estimée à l'aide du model de Glauber
- Légère dépendance prévue en fonction de la centralité
 - La perte d'énergie entre les événement périphérique et les événement centraux est estimée à 3%
 - Les effets de shadowing sont sensé être négligeable
- En supposant d σ_{pp} /dy = 59.6pb dans | y | <2.0 (prédiction de POWHEG) :



$$R_{AA} = dN_{AA} / (T_{AB} \times d\sigma_{pp}) = 1.00 \pm 0.16 \pm 0.14$$

+ Conclusion

- LHC nous a ouvert les portes vers différentes études du jetquenching : très bonne identification des di-jets dans un environnement de haute multiplicité
- Ce n'est que le début! Des analyses futures sont en cours : fonction de fragmentation, corrélations gamma-jet et multijets
- Mesure des quarkonia dans CMS, le meilleur reste à venir! (études sont en cours)
- Mesure du Z dans CMS, Preprint bientôt disponible
- Interprétations théoriques
- Les résultats peuvent être trouvés ici :
 - https://twiki.cern.ch/twiki/bin/view/CMSPublic/PhysicsResults

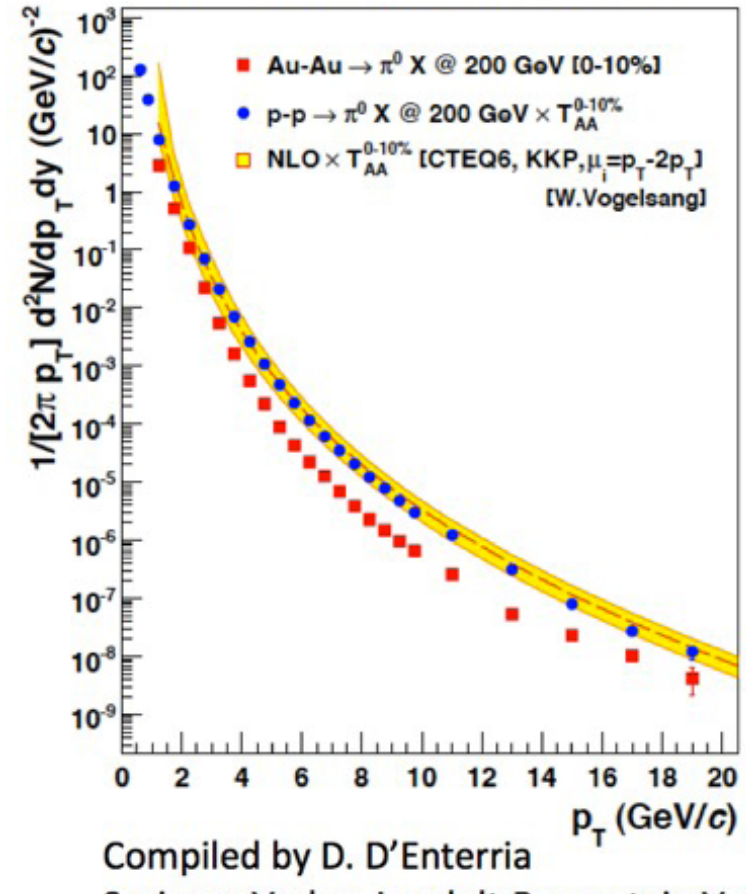
+ Backup

A RHIC

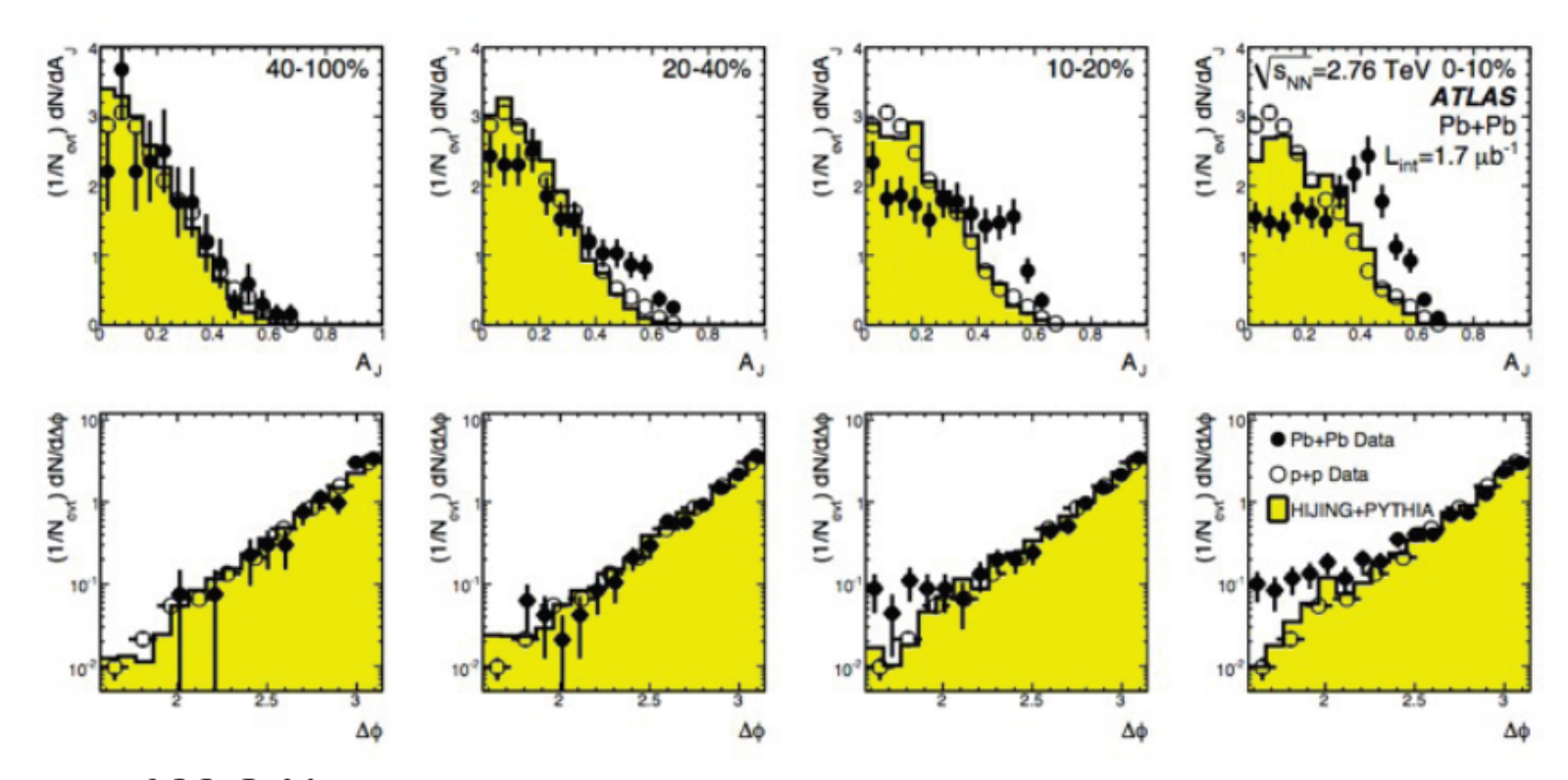
Suppression de particules de haut p_T

■ Section efficace de production de pions neutres en p+p et en Au+Au à \sqrt{s} = 200 GeV

■ La suppression des pions neutre est d'un facteur 5 comparée à l'exapolation faîte pour p+p



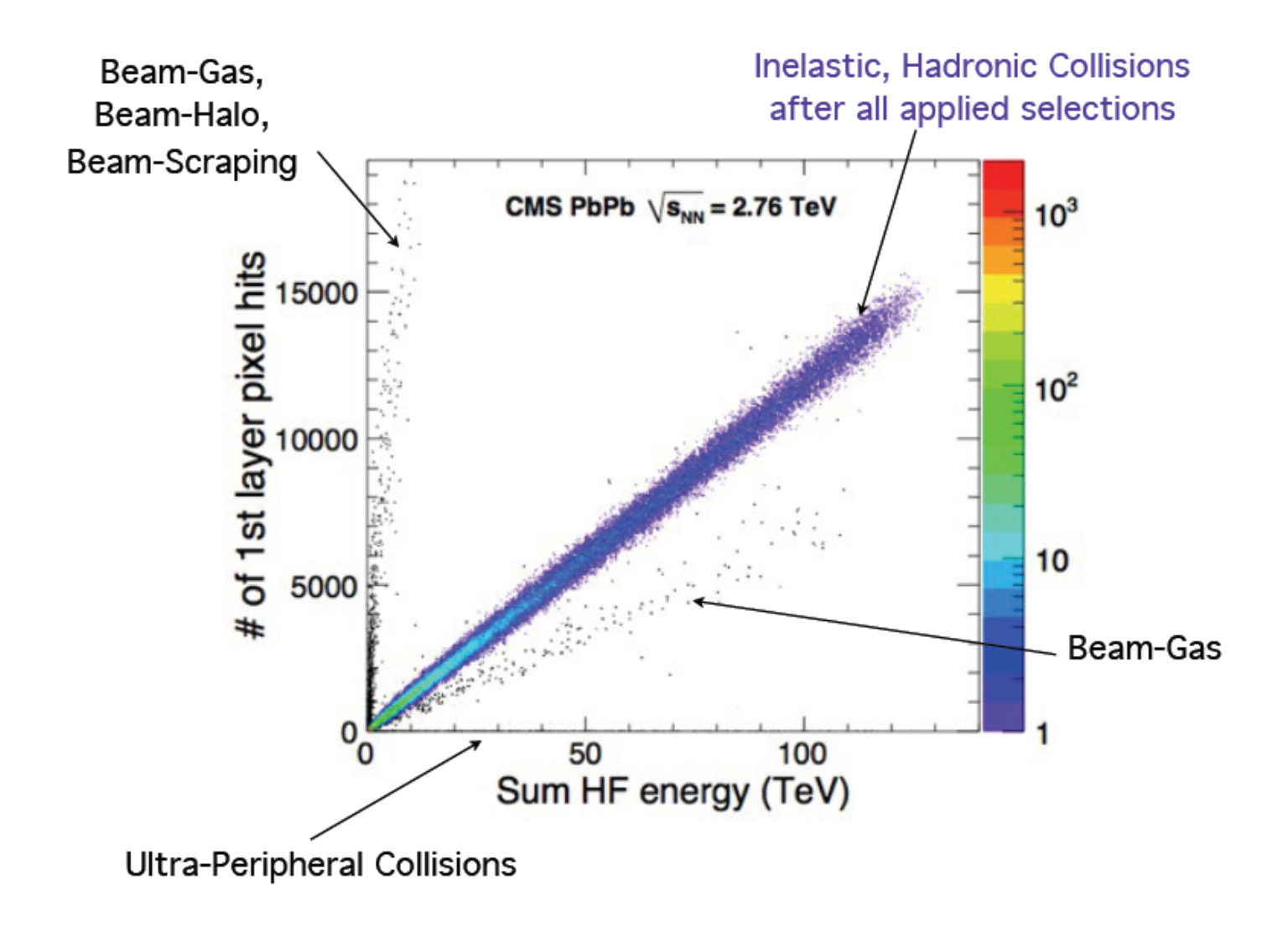
+ Di-jet dans ATLAS



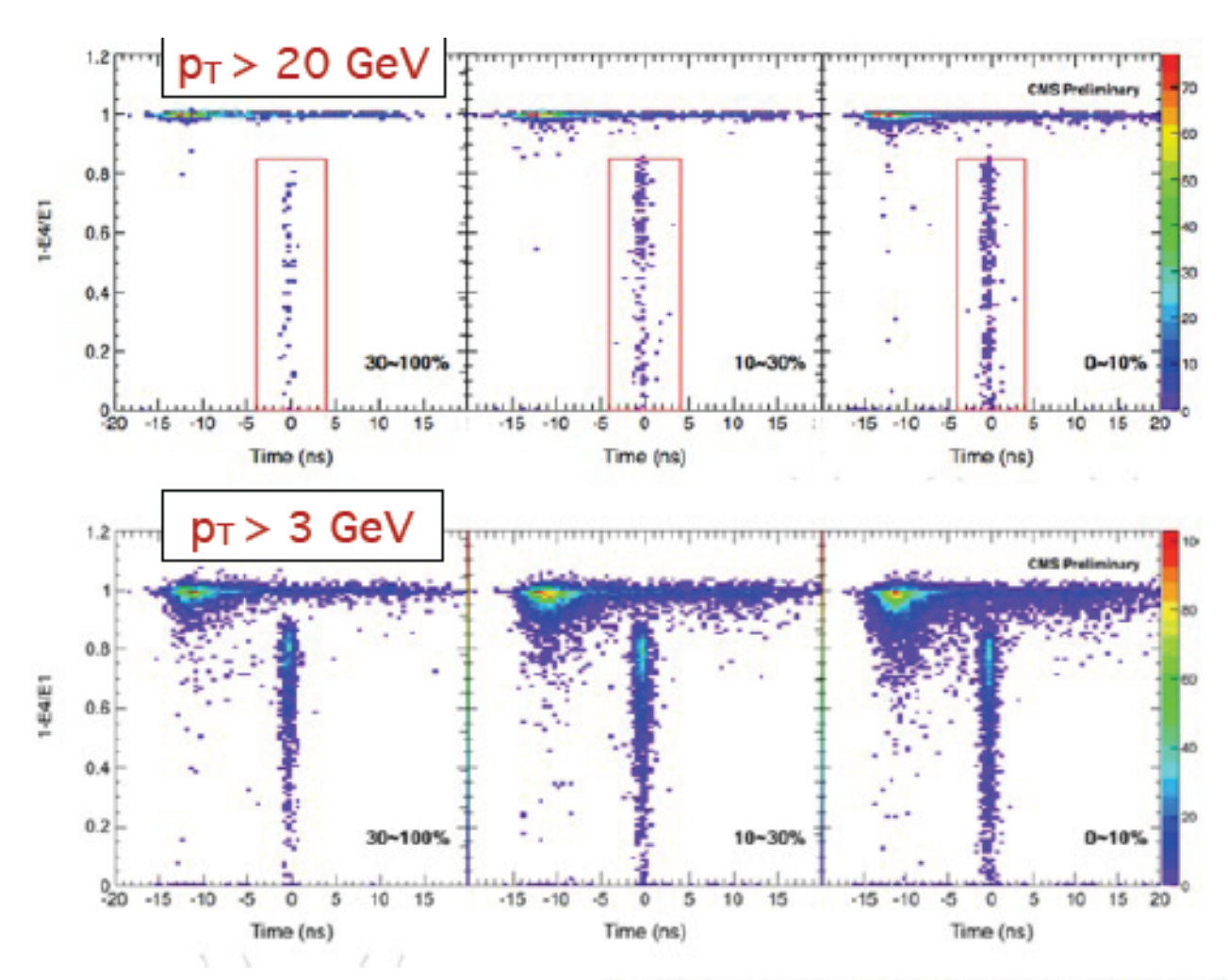
 $p_{T,1} > 100 \text{ GeV}$ $p_{T,2} > 25 \text{ GeV}$ $\Delta \phi_{1,2} > \pi/2$ $|\eta_{jet}| < 2.8$

ATLAS Collaboration, "Observation of a Centrality-Dependent Dijet Asymmetry in Lead-Lead Collisions at $sqrt(S_{NN}) = 2.76$ TeV with the ATLAS Detector at the LHC", Phys. Rev. Lett. 105 (2010) 252303, arXiv:1011.6182.

+ Sélection d'événements



+ Spike cleaning



CMS Collaboration, "Electromagnetic calorimeter commissioning and performance with 7 TeV data", CMS Note EGM-10-002 (2010).